

PATENT
3782-0123P

IN THE U.S. PATENT AND TRADEMARK OFFICE

Applicant: EDSO, Tomas et al. Conf.: 1153
Appl. No.: 09/812,907 Group:
Filed: March 21, 2001 Examiner:

For: IDENTIFICATION OF VIRTUAL RASTER
PATTERN



L E T T E R

Assistant Commissioner for Patents
Washington, DC 20231

August 6, 2001

Sir:

Under the provisions of 35 U.S.C. § 119 and 37 C.F.R. § 1.55(a), the applicant(s) hereby claim(s) the right of priority based on the following application(s):

<u>Country</u>	<u>Application No.</u>	<u>Filed</u>
SWEDEN	0001235-1	April 5, 2000
SWEDEN	0004132-7	November 10, 2000

A certified copy of the above-noted application(s) is(are) attached hereto.

If necessary, the Commissioner is hereby authorized in this, concurrent, and future replies, to charge payment or credit any overpayment to Deposit Account No. 02-2448 for any additional fee required under 37 C.F.R. §§ 1.16 or 1.17; particularly, extension of time fees.

Respectfully submitted,

BIRCH, STEWART, KOLASCH & BIRCH, LLP

By

Michael K. Mutter, #29,680

MKM/ndb
3782-0123P

P.O. Box 747
Falls Church, VA 22040-0747
(703) 205-8000

Attachment

PRV

PATENT- OCH REGISTRERINGSVERKET

Patentavdelningen

Intyg Certificate

Härmed intygas att bifogade kopior överensstämmer med de handlingar som ursprungligen ingivits till Patent- och registreringsverket i nedannämnda ansökan.

This is to certify that the annexed is a true copy of the documents as originally filed with the Patent- and Registration Office in connection with the following patent application.

(71) Sökande Anoto AB, Lund SE
Applicant (s)

(21) Patentansökningsnummer 0004132-7
Patent application number

(86) Ingivningsdatum 2000-11-10
Date of filing

Stockholm, 2001-03-23

För Patent- och registreringsverket
For the Patent- and Registration Office

Hjördis Segerlund
Hjördis Segerlund

Avgift
Fee 170:-

PATENT- OCH
REGISTRERINGSVERKET
SWEDEN

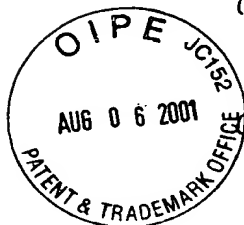
Postadress/Adress
Box 5055
S-102 42 STOCKHOLM

Telefon/Phone
+46 8 782 25 00
Vx 08-782 25 00

Telex
17978
PATOREG S

Telefax
+46 8 666 02 86
08-666 02 86

3782-0123 P
09/812,907
3/21/01
EDSO, Tomas
ERICSON, Petter
Birch, Stewart, Kolasch, & Birch, LLP
(703) 205-8000



2000 -11- 1 0

Huvudfaxen Kassan

IDENTIFIERING AV VIRTUELLT RASTERMÖNSTERTekniskt område

- 5 Föreliggande uppfinning hänför sig allmänt till identifiering av rastermönster, speciellt i samband med positionsavkodning på en yta som är försedd med ett flertal positionskodande markeringar. Närmare bestämt avser uppfinningen identifiering av ett virtuellt rastermönster i en avbildning av denna yta, på vilken varje markering är associerad med en respektive korsningspunkt för rasterlinjer tillhörande det virtuella rastermönstret.

Bakgrund till uppfinningen

- 15 I många sammanhang är det önskvärt att kunna bestämma en absolut position på en yta. Ett exempel är vid digitalisering av ritningar. Ett annat exempel är när man vill åstadkomma en elektronisk version av handskriven information.

- 20 Exempel på tidigare kända anordningar för positionsbestämning finns i US-A-5 852 434, där en anordning för bestämning av en absolut position beskrivs. Anordningen innefattar en skrivyta som är försedd med ett positionskodningsmönster med vars hjälp x-y-koordinater kan bestämmas, en detektor som kan detektera positionskodningsmönstret och en processor som på basis av det detekterade positionskodningsmönstret kan bestämma detektorns position i förhållande till skrivytan. Anordningen gör det möjligt för en användare att mata in handskriven och handritad information i en dator samtidigt som informationen skrivs/ritas på skrivytan.

- 30 Tre exempel på positionskodning ges i US-A-5 852 434. Det första exemplet består av symboler som var och en är uppbyggda av tre koncentriska cirkclar. Den yttersta cirkeln representerar x-koordinaten och den mellersta y-koordinaten. De båda yttersta cirkklarna är vidare uppdelade i 16 delar som beroende på om de är fyllda eller inte anger olika tal. Detta innebär att varje koordinat-

par x, y kodas med en komplex symbol med ett speciellt utseende.

I det andra exemplet anges koordinaterna i varje punkt på skrivytan med hjälp av en staplad streckkod, varvid en streckkod för x-koordinaten är angiven ovanför en streckkod för y-koordinaten.

Som ett tredje exempel anges att ett schackrutmönster kan användas för att koda x- och y-koordinaterna. Det finns dock ingen förklaring till hur schackrutmönstret är uppbyggt eller hur det kan översättas till koordinater.

Ett problem med positionskodningsmönstret enligt US-A-5 852 434 är att det är uppbyggt av komplexa symboler och ju mindre dessa symboler görs desto svårare blir det att framställa den mönstrade skrivytan och desto större blir risken för felaktiga positionsbestämningar, men ju större symbolerna görs desto sämre blir positionsupplösningen.

Ett ytterligare problem är att processorns behandling av det detekterade positionskodningsmönstret blir tämligen komplicerad på grund av att det är komplexa symboler som skall tolkas.

Ännu ett problem är att sensorn måste utformas så att den kan registrera fyra symboler samtidigt så att den säkert får med minst en symbol i sin helhet, vilket krävs för att positionsbestämningen skall kunna genomföras. Förhållandet mellan erforderad sensoryta och den yta av positionskodningsmönstret som definierar en position är således stort.

I internationella patentansökan PCT/SE00/01895, vilken är överläten till föreliggande sökande, beskrivs en positionskod som övervinner ovanstående problem. Positions-koden består av ett raster och markeringar, som är belägna vid varje rasterpunkt. Markeringarna är företrädesvis huvudsakligen lika stora, runda samt förskjutna i förhållande till rasterpunkterna i endera av fyra orto-

2000-11-10

Huvudfaxen Kassan

gonala riktningar. Rastret är virtuellt och är sålunda osynligt för såväl ögat som sensorer.

- För att avkoda ovannämnda positionskod erfordras att det virtuella rastret identifieras. Identifieringen
5 av rastret är föremål för föreliggande uppfinning.

Sammanfattning av uppfinningen

- Föreliggande uppfinning har således som ändamål att anvisa ett sätt att identifiera ett virtuellt rastermönster i en avbildning av inledningsvis beskrivet slag.
10 Ett speciellt ändamål är att möjliggöra identifiering av ett regelbundet, virtuellt rastermönster i en avbildning som är registrerad med en okänd vridning och/eller ett okänt perspektiv mellan den avbildande sensorn och den avbildade ytan.

- 15 Dessa och andra ändamål, som kommer att framgå av följande beskrivning, uppnås helt eller delvis genom sätt enligt efterföljande patentkrav 1 och 26, en datorprogramprodukt enligt efterföljande patentkrav 27 och en anordning för positionsbestämning enligt efterföljande
20 patentkrav 28. Föredragna utföringsformer definieras i de underordnade patentkraven.

- Enligt uppfinningen används någon form av Fourieranalys för identifiering av det virtuella rastermönstret. Detta ger ett flertal viktiga fördelar. Vid Fourieranalysen bearbetas hela avbildningen, eller en delmängd därav, som en enhet. Därmed kan identifieringen verkställas med
25 låg känslighet för lokala störningar, t ex brus i avbildningen eller smuts på den avbildade ytan. Användningen av Fourieranalys möjliggör också effektiv och entydig
30 kompensering för en okänd vridning och/eller ett okänt perspektiv mellan den avbildande sensorn och den avbildade ytan.

- Ovannämnda Fourieranalys omfattar klassisk Fourieranalys, vilken dock normalt är mycket beräkningskrävande
35 och ofta ersätts av FFT, Fast Fourier Transformation, som också kan användas i föreliggande uppfinning.

Enligt ett föredraget utförande verkställs, före Fourieranalysen av avbildningen, en omvandling av avbildningen till en uppsättning diskreta enhetspulser som placeras i markeringarnas positioner i avbildningen. Därmed
5 kan en beräkningstekniskt förenklad, klassisk Fourieranalys användas. En dubbelintegral ersätts därvid av en summa över de diskreta enhetspulserna, varvid antalet erforderliga operationer reduceras. Identifieringen via Fourieranalys kan således verkställas på beräkningstekniskt effektivt vis och implementeras i en snabb programkod som kan exekveras av en strömsnål processor i realtid.

Företrädesvis placeras varje enhetspuls i tyngdpunkten av motsvarande markering. Därmed uppnås att varje
15 markering motsvaras av en enda placering som är entydig och väsentligen oberoende av markeringens form. Likaså minimeras inverkan av oskärpa i avbildningen, beorende på rörelse eller att bilden inte befinner sig det optiska systemets fokus.

Enligt ett föredraget utförande omfattar Fourieranalysen stegen att beräkna ett spatialt frekvensspektrum i två dimensioner på basis av avbildningen, att utgående från frekvensspektrat identifiera minst två huvudvektorer hos avbildningen, och att på basis av huvudvektorerna
20 identifiera rastermönstrets rasterlinjer. De av Fourieranalysen resulterande huvudvektorerna återger de dominerande riktningarna i avbildningen, närmare bestämt normalerna till rasterlinjernas riktningar, och huvudvektorernas längder motsvarar avbildningens dominerande spatialfrekvenser längs huvudvektorerna. I ett ortogonalt,
25 likformigt rastermönster är huvudvektorerna således två inbördes ortogonala vektorer med en längd motsvarande de inbördes avstånden mellan rasterlinjerna.

Det bör noteras att begreppet "spatialt frekvensspektrum", inom ramen för uppfinningen, även innefattar
35 sin invers, d v s ett "spatialt våglängdsspektrum".

Det är föredraget att det spatiala frekvensspektrat beräknas på basis av ett centralt parti av avbildningen. Därmed minimeras ogynnsam inverkan av ett eventuellt perspektiv i avbildningen. Om avbildningen innehåller ett

5 perspektiv så kommer nämligen de spatiala frekvenserna att variera över avbildningen, och mest i det perifera partierna av denna. Vidare minskas beräkningstiden, eftersom en delmängd av avbildningen utvärderas. I vissa fall medför valet av det centrala partiet också lägre

10 krav på avbildningskvalitet och/eller belysning av den yta som avbildas.

Enligt ett föredraget utförande identifieras huvudvektorerna genom att man i det spatiala frekvensspektrat lokaliserar positioner för toppar som överskrider ett

15 givet tröskelvärde, och att man på basis av dessa positioner väljer huvudvektorer.

Det bör också noteras att det, ehuru möjligt, inte är nödvändigt att beräkna ett fullständigt spatialt frekvensspektrum i två dimensioner, dvs för alla tänkbara

20 riktningar och spatialfrekvenser i avbildningen. Det spatiala frekvensspektrat beräknas eller "samplas" dock företrädesvis utgående från en tvådimensionell Fouriertransform längs minst två riktningar i avbildningen.

Enligt ett ytterligare föredraget utförande sker

25 beräkningen av det spatiala frekvensspektrat och identifieringen av huvudvektorerna däri genom att man stegvis ändrar riktningen för en riktningsvektor inom ett vinkelintervall, på basis av varje sådan riktningsvektor beräknar minst ett absolutvärde av den tvådimensionella

30 Fouriertransformen för avbildningen, och identifierar de absolutvärden som överskrider nämnda tröskelvärde. Vinkelintervallet, som typiskt är 180° eller mindre eftersom ett större vinkelintervall resulterar i redundant information, avsöks typiskt i steg om ca 2°-4°,

35 även om mindre eller större steg kan användas i vissa tillämpningar. Tröskelvärdet är typiskt 30-70% av det teoretiskt maximala absolutvärdet, vilket är propor-

tionellt mot antalet markeringar i den delmängd av avbildningen som underkastas Fourieranalysen. Det maximala absolutvärdet kan således beräknas för varje delmängd.

Det är föredraget att riktningsvektorns längd,
5 under avsökningen av vinkelintervallet, ändras inom ett frekvensintervall som innefattar rastermönstrets nominella spatialfrekvens, dvs spatialfrekvensen hos rastermönstret på den avbildade ytan. Frekvensintervallet är lämpligen valt så att det innehåller alla tänkbara
10 spatialfrekvenser som kan uppkomma som resultat av avbildningsförhållandet (vridning/perspektiv) mellan den avbildande sensorn och den avbildade ytan. För en avbildning i form av en mängd enhetspulser medför beräkningen av Fouriertransformen för varje ny längd av en given
15 riktningsvektor endast ett extra additionssteg, vilket kan utföras på beräkningseffektivt vis. Företrädesvis ändras riktningsvektorns längd i steg som är omvänt proportionella mot någon lämplig 2-potens, t ex åttondelar (2^{-3}), eftersom steglängden då kan beräknas genom
20 ett tidseffektivt bit-skift. Det är tänkbart att den stegvisa ändringen av riktningsvektorns längd avbryts vid identifiering av ett eller flera absolutvärden som överskrider tröskelvärdet, och att riktningsvektorns riktning ändras inom vinkelintervallet för beräkning av
25 ett nytt absolutvärde av den tvådimensionella Fouriertransformen.

Lämpligen lokaliseras positionen för var och en av topparna genom beräkning av tyngdpunkten för de absolutvärden som överskrider tröskelvärdet och som angränsar
30 varandra i det spatiala frekvensspektrat. Detta ger en förhållandevis noggrann positionsbestämning för topparna, även vid grov avsökning av vinkelintervallet.

Enligt ett föredraget utförande omfattar delsteget att välja minst två huvudvektorer att man låter varje
35 topp-position identifiera en kandidatvektor, att man låter minst en aktuell avbildningstransform, som ger en given ändring av förhållandet mellan två vektorer,

2000-11-10

Huvudfaxen Kasson

- operera på kandidatvektorerna, och att man som huvudvektorer väljer de kandidatvektorer som för nämnda minst en aktuell avbildningstransform uppnår ett önskat inbördes förhållande. Detta delsteg verkställs för att utröna
- 5 vilka av de lokaliserade topp-positionerna som återger huvudvektorer. Topp-positionerna kan, vid sidan av huvudvektorer, återge andra ordningens dominerande mönster i avbildningen, t ex diagonalmönster, eller mönster till följd av störningar/brus.
- 10 Avbildningstransformen är lämpligen en transform, t ex elliptisk, som ändrar både längdförhållandet och vinkelförhållandet mellan vektorerna. Det önskade inbördes förhållandet är i detta fall ett längd- och vinkelförhållande som överensstämmer med förhållandet mellan
- 15 rasterlinjerna i det ursprungliga rastermönstret, dvs det virtuella rastermönstret på den avbildade ytan. Om det ursprungliga rastermönstret exempelvis är ett ortogonalt, likformigt rastermönster bör således
- 20 avbildningstransformen överföra huvudvektorerna till ett ortogonalt vinkelförhållande med längdförhållandet 1:1. Om en av kandidatvektorerna motsvarar en diagonalriktning i avbildningen, så bör vinkelförhållandet således vara 45° och längdförhållandet vara 1:√2.
- Det är tänkbart att sekventiellt låta en serie av
- 25 olika aktuella avbildningstransformer operera på kandidatvektorerna, åtminstone tills ett önskat inbördes förhållande uppnås mellan kandidatvektorerna. Alternativt kan den aktuella avbildningstransformen väljas adaptivt, närmare bestämt på basis av en tidigare avbildnings-
- 30 transform som gav upphov till det önskade förhållandet för en föregående avbildning.
- Det är föredraget att varje aktuell avbildnings-
- 35 transform motsvarar ett givet avbildningsförhållande mellan den avbildande sensorn och den avbildade ytan. I ett mycket beräkningseffektivt, men relativt onoggrannt, utförande härleds avbildningsförhållandet utgående från vilken avbildningstransform som ger upphov det önskade

2000-11-10

Huvudfoxen Kassan

förhållandet mellan kandidatvektorer, varpå vridning och perspektiv i avbildningen minimeras på basis av detta avbildningsförhållande.

Enligt ett alternativt utförande väljs istället
5 huvudvektorer på basis av tidigare huvudvektorer som fastställts för en föregående avbildning. Det är tänkbart att sätta huvudvektorerna lika med de tidigare huvudvektorerna, eller att vikta in information om dessa tidigare huvudvektorer vid identifieringen av huvudvektorerna,
10 exempelvis för att effektivisera lokaliseringen av toppar i det spatiala frekvensspektrat.

Enligt ett fördraget utförande transformeras markeringarna med de identifierade huvudvektorerna som bas för
15 åstadkommande av en vridningskorrigerad avbildning i vilken vridning av markeringarna över avbildningens bildplan är väsentligen eliminerad.

Enligt ett ytterligare fördraget utförande verkställs en kompensering för perspektiv i den sålunda vridningskorrigerade avbildningen. Denna kompensering kan
20 föregås av en behovsprövning, enligt vilken man fastställer bredden på de mot huvudvektorerna svarande topparna i ett spatialt frekvensspektrum av nämnda vridningskorrigerade avbildning. Om bredden överstiger ett givet breddvärde verkställs perspektivkompenseringen.
25 Bredden av topparna kan fastställas på beräkningseffektivt vis eftersom topparnas positioner i det spatiala frekvensspektrat väsentligen är kända från föregående behandlingssteg.

Perspektivkompenseringen omfattar lämpligen att man
30 mäter en lutningsvariation för rastermönstret längs varje huvudvektor i den vridningskorrigerade avbildningen, att man på basis av den uppmätta lutningsvariationen beräknar en perspektivtransform som väsentligen eliminerar lutningsvariationen, och att man medelst perspektivtransformen åstadkommer en perspektivkorrigerad avbildning. Detta
35 är ett beräkningseffektivt sätt att med hög noggrannhet åstadkomma en perspektivkorrigerad avbildning.

Det är i detta sammanhang föredraget att mätningen av lutningsvariationen för rastermönstret längs en vald huvudvektor omfattar att man via Fourieranalys av minst två längs den valda huvudvektorn fördelade delmängder av den vridningskorrigerade avbildningen beräknar minst en delmängdshuvudvektor för varje delmängd, att man för varje delmängdshuvudvektor identifierar en utgångsposition i den tillhörande delmängden, och att man på basis av delmängdshuvudvektorerna och utgångspositionerna beräknar lutningsvariationen längs den valda huvudvektorn. Identifieringen av delmängdshuvudvektorerna via Fourieranalys kan åstadkommas på snabbt vis om man utgår från de kända huvudvektorerna. Delmängdshuvudvektorerna ligger nämligen i allmänhet nära huvudvektorerna.

Utgångspositionen identifieras företrädesvis på basis av tyngdpunkten för de i respektive delmängd ingående markeringarna. Därmed påverkas identifieringen av utgångspositionen i endast liten omfattning av avbildningsfel, såsom kraftiga perspektiv, förlorade markeringar, extra markeringar, brus etc. Alternativt skulle utgångspositionen kunna sättas till delmängdens mittpunkt, varigenom de erforderliga beräkningarna minimeras.

Ett ytterligare föredraget utförande omfattar stegen att via Fourieranalys av den vridningskorrigerande eller perspektivkorrigerade avbildningen mäta dess fasförskjutning längs respektive huvudvektor, och att på basis av de uppmätta fasförskjutningarna lokalisera rastermönstret relativt markeringarna i avbildningen. Fasförskjutningen fås lämpligen som fasvinkeln för den tvådimensionella Fouriertransformen av avbildningen för huvudvektorerna och kan enkelt elimineras genom en transformationsoperation. Rasterlinjernas riktningar ges sedan av normalerna till huvudvektorerna, och avståndet mellan rasterlinjernas korsningpunkter längs huvudvektorerna ges av huvudvektorernas längder.

I vissa fall är det önskvärt att beräkna en normeringstransform som placerar rastermönstrets korsnings-

punkter på ett givet inbördes avstånd, t ex på heltalskoordinater, och att operera normeringstransformen på avbildningen för åstadkommande av en normerad avbildning.

Enligt en annan aspekt av föreliggande uppfinning
5 avser denna en datorprogramprodukt som är avläsbar för en dator och innefattar ett datorprogram med instruktioner för att bringa datorn att genomföra sättet för identifiering enligt ovan. Denna datorprogramprodukt kan exempelvis omfatta ett icke-flyktigt minne till en dator, såsom
10 en diskett eller CD-ROM, eller ett flyktigt minne i en dator. Datorprogramprodukten kan alternativt omfatta propagerande signaler, såsom en bitström för paketöverföring via Internet eller liknande, eller bärvågor som överförs trådburet eller trådlöst till datorn.

Enligt ytterligare en aspekt av föreliggande uppfinning avser denna en anordning för positionsbestämning. Anordningen innefattar en sensor för åstadkommande av en avbildning av en delyta av en yta, vilken är försedd med en positionskod i form av ett flertal markeringar som var
20 och en är associerad med en av ett flertal korsningspunkter tillhörande ett virtuellt rastermönster, och ett bildbehandlingsorgan, som är anordnat att utifrån en delmängd av ytan beräkna en position för delytan. Bildbehandlingsorganet är därvid utformat att identifiera det
25 virtuella rastermönstret i enlighet med sättet ovan.

Fördelarna med datorprogramprodukten och anordningen för positionsbestämning framgår av ovanstående redogörelse. Särdragen som beskrivs i samband med sättet att identifiera ett virtuellt rastermönster är självfallet
30 tillämpbara även på anordningen för positionsbestämning.
Kort beskrivning av ritningarna

Uppfinningen beskrivs nedan i exemplifierande syfte med hänvisning till bifogade ritningar, vilka åskådliggör en för närvarande föredragen utföringsform och på vilka
35 fig 1A-1B visar ett exempel på en yta med ett positionskodningsmönster respektive en avbildning av den samma,

2000 -11- 1 0

Huvudfaxen Kossan

11

fig 2 illustrerar några av de bearbetningsteg som verkställs vid identifiering av det virtuella rastermönstret i avbildningen enligt fig 1B,

5 fig 3 visar den tvådimensionella Fouriertransformen av avbildningen enligt fig 1B, med de faktiska beräkningspunkterna markerade med svarta symboler,

fig 4 visar avbildningen enligt fig 1B efter vridningskompensation,

10 fig 5A-D visar tvådimensionella Fouriertransformer av delmängder av avbildningen enligt fig 4, med de faktiska beräkningspunkterna markerade med svarta symboler,

fig 6 är ett diagram över den beräknade lutningsvariationen längs två huvudvektorer hos avbildningen enligt fig 4,

15 fig 7 visar avbildningen enligt fig 4 efter eliminering av perspektiv,

fig 8 visar en tvådimensionell Fouriertransform av avbildningen enligt fig 7, med de faktiska beräkningspunkterna markerade med symboler,

20 fig 9 visar avbildningen enligt fig 7 efter kompensation för förskjutning längs huvudvektorerna, varvid det ursprungliga, ortogonala rastermönstret är identifierat,

fig 10 visar en anordning som kan användas för positionsbestämning,

25 fig 11 visar ett positionskodningsmönster med triangulärt rastermönster, och

fig 12 visar ett positionskodningsmönster med hexagonalt rastermönster.

Beskrivning av föredragna utföringsformer

30 I fig 1a visas en del av en produkt 1 som på åtminstone en del av sin yta 2 är försedd med ett optiskt avläsningsbart positionskodningsmönster 3 som möjliggör positionsbestämning. Positionskodningsmönstret 3 innefattar markeringar 4 som är systematiskt anordnade över
35 ytan, så att denna har ett "mönstrat" utseende. Positionsbestämningen kan utföras på hela produktens yta. I andra fall kan ytan som medger positionsbestämning utgöra

2000 -11- 1 0

Huvudfoxen Kassan

en mindre del av produkten. Produkten kan exempelvis användas för att åstadkomma en elektronisk representation av information som skrivs eller ritas på ytan. Den elektroniska representationen kan åstadkommas genom att man

5 löpande under skrivning på ytan med en penna, bestämmer pennans position på pappret genom avläsning av positionskodningsmönstret.

Positionskodningsmönstret innefattar närmare bestämt ett virtuellt raster 5 (indikerat med streckade

10 linjer i fig 9), som alltså varken syns för det mänskliga ögat eller kan detekteras direkt av en anordning som skall bestämma positioner på ytan, och markeringarna 4 som var och en, beroende på sin placering, representerar ett av fyra värden. Värdet på en markering 4 beror på

15 dess placering i förhållande till dess nominella position 6 (fig 9), vilken även kan kallas för dess virtuella rasterpunkt och representeras av skärningspunkten mellan rasterlinjerna 7 (fig 9). Markeringen 4 har formen av en cirkulär punkt. I exemplet i fig 9 finns fyra möjliga

20 placeringar, en på var och en av rasterlinjerna 7 som utgår från den nominella positionen 6. Förskjutningen från den nominella positionen 6 är lika stor för alla värden. Det virtuella rastret 5 är i detta fall ortogonalt och har samma delning i sina båda huvud- eller

25 rasterriktningar. Det skall i detta sammanhang påpekas att positionskodningsmönstret i fig 1A och fig 9 av åskådlighetsskäl är kraftigt förstorat. Dessutom visas det bara på en del av produkten.

För detaljer kring genereringen av positionskodningsmönstret, och avkodningen av detsamma för positionsbestämning, hänvisas till sökandens svenska patentansökan PCT/SE00/01895.

30

För att positionskoden skall kunna detekteras behöver det virtuella rastret bestämmas. Detta måste ske

35 med hög noggrannhet och i realtid utgående från en bild av en delyta med ett antal markeringar 4. I fig 1B visas en sådan bild av delytan 8 i fig 1A. Av tydlighetsskäl är

de avbildade markeringarna något större än övriga markeringar i fig 1A. I bilden enligt fig 1B är mönstret distorderat på grund av att sensorn inte har hållits vinkelrätt mot den avbildade delytan. Bilden innehåller därför
5 såväl ett okänt perspektiv, p g a snedställning ("tilt") av sensorn relativt delytan, och en okänd vridning i bildplanet, p g a vridning ("skewing") av sensorn kring dess normalriktning.

I fig 2 indikeras huvudstegen för återskapande av
10 det ursprungliga punktmönstret och identifiering av det virtuella rastret utgående från en registrerad bild. Huvudstegen innefattar förbehandling av bilden (steg 100), detektion av bildens huvudvektorer via Fourieranalys (steg 101), kompensation för vridning i bildplanet
15 genom projicering av markeringarna längs huvudvektorerna (steg 102), detektion av perspektivet i den vridningskorrigerade bilden via Fourieranalys (steg 103), borttransformering av det detekterade perspektivet (steg 104), detektion av fasinnehållet i den perspektivkorrigerade bilden via Fourieranalys (steg 105) och slutligen
20 borttransformering av fasinnehållet för åstadkommande av ett återskapat punktmönster med tillhörande virtuellt raster (steg 106).

I det följande kommer vart och ett av huvudstegen
25 att beskrivas i större detalj.

Förbehandling (steg 100)

Förbehandlingen syftar till att identifiera alla markeringar 4 i bilden. Detta kan ske genom tröskling, vid vilken en markering identifieras av ett eller flera
30 bildelement (pixlar) med ett värde över ett förutbestämt eller beräknat tröskelvärde. Tyngdpunkten för alla sådana bildelement tillhörande en markering beräknas och används i den fortsatta behandlingen. Därmed inverkar markeringens utseende i bilden så lite som möjligt på markeringens sedermera beräknade förskjutning från den nominella positionen. Sedan omvandlas bilden till en punktmängd genom att markeringarna ersätts med enhetspulser
35

(s k Dirac-pulser, δ) som är placerade markeringarnas tyngdpunkter.

När punktmängden är definierad verkställs ett antal delsteg som baserar sig på Fourieranalys av bilden, eller
5 snarare ovannämnda punktmängd.

Den generella tvådimensionella Fouriertransformen av en bild $f(x,y)$ är av formen:

$$F(u, v) = \iint_{\text{bild}} f(x, y) \cdot e^{-2\pi i \cdot (ux+vy)}$$

Eftersom bilden är omvandlad till en punktmängd ges
10 Fouriertransformen av uttrycket:

$$\begin{aligned} F(u, v) &= \iint_{\text{bild}} \delta(x - x_j, y - y_k) \cdot e^{-2\pi i \cdot (u \cdot x + v \cdot y)} \\ &= \sum_{j,k} e^{-2\pi i \cdot (u \cdot x_j + v \cdot y_k)} \end{aligned}$$

där punktmängden är $\{x_j, y_k\}$, och (u,v) är en riktningsvektor, eftersom integralen av en Dirac-puls är ett (1), och bildfunktionen mellan Dirac-pulserna är noll
15 (0).

Detta uttryck kan beräknas förhållandevis snabbt, eftersom antalet operationer blir endast lika med antalet detekterade punkter, d v s vanligtvis av storleksordningen 100.

20 Detektion av huvudvektorer (steg 101)

Efter förbehandlingen av bilden analyseras punktmängden för detektion av dess huvud- eller rastervektorer, dvs dess dominerande riktningar och dominerande spatialfrekvenser. Detta görs genom beräkning av Fouriertransformen av punktmängden för olika riktningsvektorer
25 (u,v) . Absolutvärdena av de beräknade Fouriertransformerna $|F(u,v)|$ ger ett spatialt frekvensspektrum i två dimensioner.

I fig 3 visas ett spatialt frekvensspektrum för
30 punktmängden i fig 1b. Mörka områden indikerar högre spektrala amplituder. Det centrala, mörka området bildar

origo, dvs $(u,v)=(0,0)$. I stället för att beräkna hela det tvådimensionella frekvensspektrum som visas i fig 3, så beräknar man Fouriertransformen i ett antal punkter, d v s för ett antal olika riktningsvektorer (u,v) . Dessa punkter är markerade i fig 3. Närmare bestämt "sveps" stegvis ett bandformigt område i ett halvplan av frekvensdomänen. Därvid beräknas flera summor längs en och samma sökriktning. I syfte att effektivisera beräkningarna sker endast skalning längs sökriktningen, och skalärprodukten $(u_0 \cdot x_j + v_0 \cdot y_k)$ beräknas bara en gång per riktningsvektor (u_0, v_0) . Skalningen utförs iterativt och ger bara upphov till en extra addition per steg och punkt i varje sökriktning.

I pseudokod kan detta skrivas:

```
15      for punkt=1 to N
           $\alpha_0 = u_0 \cdot \text{punkt}.x + v_0 \cdot \text{punkt}.y$ 
           $d\alpha_0 = \alpha_0 / 8$ 
          for summa=0 to 11
20               $dsum = \exp(-2 \cdot \pi \cdot i \cdot \alpha_0)$ 
                   $sum(summa) = sum(summa) + dsum$ 
                   $\alpha_0 = \alpha_0 + d\alpha_0$ 
          next summa
      next punkt
```

25

Det är lämpligt att i varje sökriktning använda steg som är omvänt proportionella mot någon lämplig 2-potens (2^n), t ex åttondelar enligt ovan, eftersom beräkningen av steget ($d\alpha_0$) därmed reduceras till ett beräkningseffektivt bit-skift.

30 Bredden på sökbandet i frekvensplanet fastställs utifrån hur mycket avbildningsdistortionen kan antas förändra det ursprungliga mönstrets (fig 1A) spatialfrekvenser längs huvudvektorerna. Detta beror i sin tur på i vilka lägen den avbildande sensorn kan förväntas vara placerad. Normalt sträcker sig sökbandet på båda

35 sidor om mönstrets nominella spatialfrekvenser, d v s

avståndet mellan rasterlinjerna i det ursprungliga
mönstret. Självfallet kan storleken på stegen i varje
sökriktning respektive stegen i svepriktningen varieras i
beroende av tillgänglig processorkraft, önskad beräk-
ningstid och önskad noggrannhet.

Av det ovanstående framgår att sökningen i frek-
vensplanet sker genom beräkning av ett antal av varandra
oberoende summor. Sökningen är således av parallell natur
och lämpar sig därför väl för implementering i hårdvara,
såsom en ASIC.

Efter eller under beräkningen av detta "samplade"
spatiala frekvensspektrum i två dimensioner identifieras
kandidatvektorer c1-c3, utgående från beräkningspunkter-
nas värden. Alla beräkningspunkter med ett värde över ett
tröskelvärde anses vara signifikanta (markerade med svar-
ta kryss i fig 3) och används för beräkning av koordina-
terna för kandidatvektorerna c1-c3. Tröskelvärdet bestäms
som en andel, t ex 50%, av det teoretiskt maximala ampli-
tudvärdet, vilket är proportionellt mot antalet marke-
ringar i bilden. Antalet markeringar är känt från förbe-
handlingssteget. Om flera relevanta beräkningspunkter
gränsar till varandra i frekvensplanet anses tyngdpunkten
av dessa ge koordinaten för en kandidatvektor c1-c3 i
frekvensplanet (kandidatvektor som senare visar sig vara
huvudvektor eller diagonalvektor är markerad med vit
respektive svart stjärna i fig 3).

Det må påpekas att alla punkter i punktmängden inte
utnyttjas vid ovanstående beräkning, utan endast de som
ligger närmast bildens mitt. Typiskt används ca 50% av de
tillgängliga punkterna. Detta görs av i huvudsak två
skäl. Om samtliga punkter skulle tas med, riskerar
topparna i frekvensplanet (fig 3) att bli alltför breda,
och därmed svåra att detektera, framförallt vid stora
perspektiv. Detta på grund av att perspektiv ger upphov
till stora frekvensändringar i perifera delar av bilden.
I bildens mitt stämmer dock de spatiala frekvenserna
förhållandevis väl överens med de spatiala medelfrekven-

serna i bilden. Dessutom undviks problem med otillräcklig belysning av bildens periferi, och åtföljande höga brusnivåer. Vidare minskar beräkningstiden i proportion till minskningen av antalet punkter.

- 5 Efter ovanstående beräkningssteg har ett antal toppar detekterats i frekvensplanet. Dock återstår att avgöra vilka av de detekterade topparna som motsvarar huvudvektorer. Om bilden är registrerad utan perspektiv mellan sensorn och den mönstrade produkten så kan diagonalvektorn särskiljas genom att den har en längd som är
- 10 $\sqrt{2}$ gånger längre än huvudvektorerna, som dessutom är ortogonala mot varandra. Detta gäller dock inte vid mer extrema perspektiv, såsom i fig 1B, då varken huvudvektorerna är ortogonala eller längdförhållandet mellan diagonalvektor och huvudvektor är $\sqrt{2}$. Dessutom kan ett
- 15 eller flera ogiltiga maxima ha detekterats i frekvensplanet, exempelvis som resultat av störningar eller brus i bilden.

- För identifieringen av huvudvektorer används ett
- 20 antal, typiskt ca 25, avbildningstransformer motsvarande ett antal givna avbildningsförhållanden mellan sensorn och produkten. I fallet med en penna kan ju denna rent fysiskt bara vinklas och vridas relativt produkten på ett begränsat antal olika sätt. Avbildningstransformerna
- 25 återför en given distorderad frekvensdomän till en ortogonal och likformig frekvensdomän, d v s en frekvensdomän där huvudvektorerna verkligen är ortogonala och där längdförhållandet mellan en diagonalvektor och en huvudvektor är $\sqrt{2}$. Avbildningstransformerna ger typiskt upphov till en s k elliptisk transformation.
- 30

- Efter identifieringen av kandidatvektorerna c1-c3 låter man avbildningstransformerna operera på dessa kandidatvektorer c1-c3 och mäter hur väl de transformerade kandidatvektorernas egenskaper (riktning och längd)
- 35 verkar överensstämma med sanna huvudvektorer.

Ovanstående kan genomföras genom att alla avbildningstransformer tillåts operera på alla kandidatvektorer

c1-c3, att de transformerade kandidatvektorerne sätts
poäng utgående från sina inbördes förhållanden, och att
huvudvektorerne identifieras bland de transformerade
kandidatvektor som fick högst poäng. Vid behov kan också
5 den avbildningstransform som gav upphov till högst poäng
identifieras.

Ett mer beräkningseffektivt alternativ är uppdelat
på två delsteg. I det första delsteget tillåts en sekvens
av avbildningstransformer operera på alla par av kandi-
10 datvektorer c1-c3, för identifiering av alla potentiella
par av huvudvektorer och de avbildningstransformer som
gav upphov till dessa potentiella par. Potentiella par av
huvudvektorer har efter transformationen ett ortogonalt
inbördes vinkelförhållande, ett inbördes längdförhållande
15 om 1:1 och givna längder. Dessa kriterier bedöms själv-
fallet inom givna toleranser. Kriteriet att vektorerna
efter transformationen skall ha givna längder syftar till
att utesluta att två inbördes ortogonala diagonalvektorer
misstas för huvudvektorer. I detta första delsteg avbryts
20 lämpligen opererandet av olika avbildningstransformer på
ett givet par av kandidatvektorer när detta identifieras
som ett par av potentiella huvudvektorer, varpå sekvensen
av avbildningstransformer tillåts operera på ett nytt par
av kandidatvektorer. Detta minskar antalet nödvändiga
25 operationer. I det andra delsteget tillåts de avbild-
ningstransformer som gav upphov till de potentiella paren
att operera på eventuella ytterligare kandidatvektorer,
varpå dessa ytterligare kandidatvektorer sätts poäng
efter sin överensstämmelse med diagonalvektorer. Huvud-
30 vektorerna kan sedan identifieras som det par av kandi-
datvektorer som fick högst poäng. Uppdelningen i två
delsteg medför att den ibland förhållandevis beräknings-
tunga poängbedömningen endast behöver verkställas för ett
fåtal par av kandidatvektorer och ett fåtal avbildnings-
35 transformer.

Enligt ett ytterligare alternativ tillåts en sek-
vens av avbildningstransformer operera på alla par av

2000-11-10

Huvudfaxen Kassan

kandidatvektorer. Om en tillräckligt hög poäng uppnås för en aktuell avbildningstransform så väljs denna, annars testas nästa avbildningstransform i sekvensen.

Det är i detta sammanhang tänkbart att testa
5 avbildningstransformerna adaptivt, d v s exempelvis på basis av användarens identitet och/eller den avbildnings-
transform som valdes för en föregående bild. Det är nämligen sannolikt att på varandra följande bilder har av-
bildats under snarlika förhållanden. En och samma använ-
10 dare verkställer också sannolikt avbildningen på liknande vis varje gång.

Det är värt att notera att avbildningstransformerna och tillhörande beräkningar är enkla att utföra eftersom endast själva kandidatvektorerne transformeras, och inte
15 hela punktmängden. Avbildningstransformerna kan vara 2x2-matriser, och antalet operationer blir således fyra per avbildningstransform och kandidatvektorpar.

Eftersom varje avbildningstransform motsvarar ett känt förhållande mellan sensorn och produkten, ger ovan-
20 stående detektionssteg en uppfattning om hur sensorn hålls relativt produkten. Vid låga krav på noggrannhet kan denna information användas direkt för att kompensera för perspektiv och vridning i bilden. Ofta krävs dock en mer noggrann kompensering.

25 Enligt ett alternativt angreppssätt sker ej sökning efter toppar i frekvensplanet. Istället väljs initialt en avbildningstransform som tillåts operera på punktmängden, eller en delmängd därav. Därefter identifieras den transformerade punktmängdens huvudvektorer via Fourieranalys,
30 lämpligen genom ovan beskriva sökning efter toppar i frekvensplanet. Om ej tillfredsställande resultat uppnås väljs en ny avbildningstransform, varpå en ny identifiering av huvudvektorer verkställs via Fourieranalys. Denna metod är dock förhållandevis beräkningsintensiv, fram-
35 förallt om avbildningsförhållandena ändras ofta mellan på varandra följande bilder. För minimering av antalet avbildningstransformer som måste testas baseras valet av

avbildningstransform lämpligen på användarens identitet och/eller den för en föregående bild valda avbildningsformen.

Kompensation för vridning (steg 102)

5 För att kompensera för vridning av punktmängden i bildplanet projiceras punktmängden längs de enligt ovan detekterade huvudvektorerna. Därmed erhålls en punktmängd som är huvudsakligen uppriktad, även om det fortfarande kan finnas kvar en icke-linjär störning i form av ett
10 perspektiv i bilden.

I fig 4 åskådliggörs punktmängden i fig 1B efter sådan uppriktning. För att tydliggöra det kvarvarande perspektivet har också motsvarande virtuella raster markerats med streckade linjer. Det bör noteras att detta
15 raster har beräknats utgående från parametrar som fastställs vid nästföljande detektion av perspektiv (steg 103).

Detektion av perspektiv och kompensation för detta (steg 103-104)

20 En generell egenskap hos perspektiv är att ursprungligen rätta linjer avbildas på linjer som konvergerar mot en perspektivpunkt. Det går att visa, se Appendix A, att dessa linjer korsar koordinataxlar (x_s , y_s) hos sensorn (bilden) på ett sådant sätt att linjernas lutningar
25 ($\Delta x_s / \Delta y_s$, $\Delta y_s / \Delta x_s$) ökar linjärt längs respektive koordinataxel:

$$\begin{cases} \frac{\Delta x_s}{\Delta y_s} = k k_x \cdot x_s + m k_x \\ \frac{\Delta y_s}{\Delta x_s} = k k_y \cdot y_s + m k_y \end{cases}$$

I Appendix A visas också att ett lutande plan som ger upphov till detta perspektiv har en z-koordinat som
30 varierar enligt formeln:

$$z = C - k k_y \cdot x - k k_x \cdot y,$$

där x , y är rymdkoordinater på det lutande planet, d v s på produktens yta, och C är en skalfaktor.

Vidare visas i Appendix A att man kan kompensera för perspektiv medelst perspektivtransformen:

$$\begin{cases} x = -\frac{x_s^t}{1 - kk_x \cdot x_s^t - kk_y \cdot y_s^t} \\ y = -\frac{y_s^t}{1 - kk_x \cdot x_s^t - kk_y \cdot y_s^t} \end{cases}$$

där

$$\begin{cases} x_s^t = x_s - y_s \cdot mk_x \\ y_s^t = y_s - x_s \cdot mk_y \end{cases}$$

Innan denna transformering kan göras måste man således mäta hur rastermönstrets lutning varierar längs den vridningskorrigerade punktmängdens huvudvektorer (motsvarande koordinataxlarna x_s , y_s ovan). Denna lutningsvariation ger de sökta värdena på mk_x , mk_y , kk_x , kk_y .

Lutningsvariationen mäts via Fourieranalys. Punktmängden delas in i fyra delmängder kring bildens/sensors horisontella och vertikala symmetriaxlar, vars riktningar i praktiken väsentligen sammanfaller med huvudvektorernas riktningar. Varje delmängd omfattar punkterna i ett halvplan: över den horisontella symmetriaxeln, under den horisontella symmetriaxeln, till höger om den vertikala symmetriaxeln, till vänster om den vertikala symmetriaxeln. Till skillnad från vid ovan beskrivna detektion av huvudvektorer (steg 101) används här hela punktmängden vid indelningen i delmängder. Fouriertransformen för respektive delmängd beräknas på motsvarande vis som vid detektionen av huvudvektorer. Svepningen av frekvensplanet sker kring huvudvektorn och fortsätter tills alla signifikanta, angränsande toppvärden har detekterats. På motsvarande vis som vid detektionen av huvudvektorerna beräknas positionen för toppen som tyngdpunkten för alla de beräkningspunkter som gränsar till varandra i frekvensplanet.

I fig 5A-D visas beräkningen för respektive halvplan: övre (fig 5A), undre (fig 5B), vänster (fig 5C), höger (fig 5D), varvid svarta punkter indikerar beräk-

2000 -11- 1 0

Huvudfaxen Kassan

ningspunkter utan detektion av något signifikant toppvärde, svarta kryss indikerar beräkningspunkter med detektion av ett signifikant toppvärde, och vita stjärnor indikerar tyngdpunkten för respektive topp. Dessa tyngdpunkter definierar delmängdshuvudvektorer, vars riktning ger lutningen $(\Delta x_s / \Delta y_s, \Delta y_s / \Delta x_s)$ hos punktmängden i respektive halvplan. Det må påpekas att något fullständigt frekvensspektrum i två dimensioner inte beräknas. Av åskådlighetsskäl visas det dock i bakgrunden av fig 5A-5D, varvid det centrala, mörka området bildar origo, d v s $(u,v)=(0,0)$.

För extraheringen av mk_x , mk_y , kk_x , kk_y beräknas också utgångspositionerna för delmängdshuvudvektorerna i halvplanen. Utgångspositionerna beräknas lämpligen som tyngdpunkten av mängden enhetspulser i respektive halvplan, eftersom tyngdpunkten är förhållandevis okänslig för variationer av sensors läge, förlorade punkter och starkt perspektiv. Det är dock tänkbart att istället placera utgångspositionen i respektive halvplans geometriska centrum. För delmängdshuvudvektorerna tillhörande vänster och höger halvplan beräknas delmängdshuvudvektorernas korsningspunkter med den horisontella symmetriaxeln, och för delmängdshuvudvektorerna tillhörande de övre och undre halvplanen beräknas delmängdshuvudvektorernas korsningspunkter med den vertikala symmetriaxeln. Lutningarna och korsningspunkterna anpassas till en rät linje, från vilken mk_x , mk_y , kk_x , kk_y beräknas. I fig 6 visas ett diagram över lutningen längs en symmetriaxel som funktion av positionen på denna symmetriaxel. Svarta kryss indikerar de mätpunkter som erhöles vid Fourieranalysen enligt ovan baserad på punktmängden i fig 4.

När mk_x , mk_y , kk_x , kk_y är kända verkställs en kom-pensation för perspektiv via perspektivtransformen ovan. I fig 7 visas punktmängden i fig 4 efter kompensering för perspektiv. Motsvarande virtuella raster har också markerats med streckade linjer..

2000-11-10

Huvudfaxen Kassan

Självfallet är det möjligt att dela in punktmängden i andra delmängder än de som beskrivits ovan för beräkning av lutningsvariationen. Fler delmängder än två per huvudvektor kan användas för ökad noggrannhet.

- 5 Det bör också påpekas att andra transformers kan användas för kompensation för perspektiv. Exempelvis kan ovanstående perspektivtransform ersättas med den approximativa transformen:

$$\begin{cases} x = -x_s^c \cdot (1 + kk_x \cdot x_s^c + kk_y \cdot y_s^c) \\ y = -y_s^c \cdot (1 + kk_x \cdot x_s^c + kk_y \cdot y_s^c) \end{cases}$$

- 10 Lutningsvariationen hos den vridningskompenserade bilden kan mätas med andra metoder än Fourieranalys, t ex genom linjeanpassning enligt minsta-kvadrat-metoden. Till skillnad från den beskrivna Fourierbaserade metoden, som behandlar punktmängden som en ensemble, kräver sådana
- 15 linjeanpassningsmetoder lokala beslut kring enskilda punkter, varför de är mer känsliga för störningar.

Detektion av förskjutning och kompensation för denna (steg 105-106)

- Efter kompensationen för perspektiv återstår i princip endast en konstant förskjutning längs huvudvektorerna. Såsom framgår av fig 7 är rastret i övrigt huvudsakligen rakt och väsentligen fritt från vridning i bildplanet. Förskjutningarna kan mätas som fasen i Fourieranalysen. Det som återstår är alltså att mäta
- 20 denna fas och kompensera för den.

- Fouriertransformen för hela punktmängden beräknas på motsvarande vis som vid detektionen av huvudvektorer. Svepningen av frekvensplanet sker kring de huvudvektorer som identifierades i steg 101 ovan och fortsätter tills
- 30 alla signifikanta, angränsande toppvärden har detekterats. På motsvarande vis som vid detektionen av huvudvektorerna (steg 101) beräknas positionen för toppen som tyngdpunkten för alla de beräkningspunkter som gränsar till varandra i frekvensplanet. Resultatet för punktmängden i fig 7 visas i fig 8, varvid återigen svarta
- 35

punkter indikerar beräkningspunkter utan detektion av något signifikant toppvärde, svarta kryss indikerar beräkningspunkter med detektion av ett signifikant toppvärde, och vita stjärnor indikerar tyngdpunkten för respektive topp. Det må påpekas att något fullständigt tvådimensionellt frekvensspektrum inte beräknas. Av åskådlighetsskäl visas det dock i bakgrunden av fig 8, varvid det centrala, mörka området bildar origo, d v s $(u,v)=(0,0)$. Av fig 8 framgår också att topparna i frekvensplanet blir smalare efter kompensation för perspektiv. Topparnas bredd kan således användas för fastställning av om det överhuvudtaget finns behov av perspektivkompensation i en bild.

Samtidigt med lokaliseringen av respektive huvudvektor via absolutbeloppet av Fouriertransformen erhålls fasförskjutningen längs respektive huvudvektor från Fouriertransformens fasvinkel, som ges av förhållandet mellan dess realdel och imaginärdel. Denna fasförskjutning elimineras genom fastransformering av punktmängden, varpå en ny projektion görs längs de senast fastställda huvudvektorerna. Dessutom sker en skalning, på basis av huvudvektorernas längd, för säkerställande av att rastret lägger sig kring heltalskoordinater.

I fig 9 visas den återskapade bilden efter kompensation för fas. Som synes är det virtuella rastret 5 korrekt lokaliserat relativt markeringarna/enhetspulserna, vilka nu kan avkodas på positionsinformation.

Enligt ett alternativ sker ingen sökning efter nya huvudvektorer i frekvensplanet eftersom dessa efter stegen 101-102 är förhållandesvis väldefinierade. Istället används fasvinklarna för de Fouriertransformer som beräknades för huvudvektorerna vid detektionen av dessa (steg 101).

Eventuellt verkställs en kompletterande finjustering av det identifierade rastermönstret efter ovannämnda faskompensation. Eftersom varje markering har ett känt avstånd till sin nominella position kan varje följd av

markeringar längs varje huvudvektor anpassas, t ex via en minsta-kvadrat-metod, till en linje, vilken bildar en finjusterad rasterlinje.

Anordning för positionsbestämning

5 En utföringsform av en anordning för positionsbestämning visas schematiskt i fig 10. Den innefattar ett hölje 11, som är format ungefär som en penna. I höljets kortända finns en öppning 12. Kortänden är avsedd att
10 ligga an mot eller hållas på litet avstånd från den yta på vilken positionsbestämningen skall ske.

Höljet inrymmer i huvudsak en optikdel, en elektronikdel och en strömförsörjning.

Optikdelen innefattar minst en lysdiod 13 för belysning av den yta som skall avbildas och en ljuskänslig
15 areasensor 14, exempelvis en CCD- eller CMOS-sensor, för registrering av en tvådimensionell bild. Eventuellt kan anordningen dessutom innehålla ett optiskt system, såsom ett spegel- och/eller linssystem. Lysdioden kan vara en infraröd diod, och sensorn kan vara känslig för infrarött
20 ljus.

Strömförsörjningen till anordningen erhålls från ett batteri 15 som är monterat i ett separat fack i
höljet.

Elektronikdelen innehåller bildbehandlingsorgan 16
25 för bestämning av en position på basis av den med sensorn 14 registrerade bilden och närmare bestämt en processor-enhet med en processor som är programmerad till att läsa in bilder från sensorn och utföra positionsbestämning på basis av dessa bilder.

30 Anordningen innefattar också i denna utföringsform en pennspets 17, med vars hjälp man kan skriva vanlig färgämnesbaserad skrift på ytan på vilken positionsbestämningen skall ske. Pennspetsen 17 kan vara in- och utfällbar så att användaren kan styra om den skall
35 användas eller ej. I vissa tillämpningar behöver anordningen inte ha någon pennspets alls.

Lämpligen är den färgämnesbaserade skriften av sådant slag att den är transparent för infrarött ljus, och lämpligen är markeringarna absorberande för infrarött ljus. Genom användningen av en ljusdiod som avger infrarött ljus och en sensor som är känslig för infrarött ljus sker avkänningen av mönstret utan att ovannämnda skrift interfererar med mönstret.

Anordningen kan också innefatta knappar 18 med vars hjälp anordningen aktiveras och styrs. Den har också en sändtagare 19 för trådlös överföring, t ex med IR-ljus, radiovågor eller ultraljud, av information till och från anordningen. Anordningen kan vidare innefatta en display 20 för visning av positioner eller registrerad information.

I sökandens svenska patent nr 9604008-4 beskrivs en anordning för registrering av text. Denna anordning kan användas för positionsbestämning om den programmeras på lämpligt sätt. Om den skall användas för färgämnesbaserad skrivning så måste den vidare kompletteras med en pennspets.

Anordningen kan vara uppdelad i olika fysiska höljen, varvid ett första hölje innehåller komponenter som är nödvändiga för att ta bilder av positionskodningsmönstret och för att överföra dessa till komponenter som finns i ett andra hölje och som utför positionsbestämningen på basis av den eller de registrerade bilderna.

Positionsbestämningen görs såsom nämnts av en processor som alltså måste ha programvara för att i en bild lokalisera och avkoda markeringarna och för att från det sålunda erhållna koderna bestämma positioner. Fackmannen kan, utifrån exemplet ovan, konstruera programvara som utför ovan beskrivna identifiering av det virtuella rastermönstret på basis av en bild av en del av ett positionskodningsmönster.

Anordningen är företrädesvis specificerad att användas med avbildningsförhållanden som ligger inom givna gränser. Avbildningsförhållandena kan definieras som dels

2000 -11- 1 0

27

Huvudfaxen Kassar

en tillåten snedställning ("tilt") av anordningen (sensorn 14) relativt den yta som skall avbildas, exempelvis maximalt ca 60°, dels en tillåten vridning ("skewing") av anordningen kring dess längdaxel, exempelvis i intervallet ca $\pm 30^\circ$ relativt ett referensläge.

I utföringsexemplet ovan är mönstret optiskt avläsningsbart och sensorn således optisk. Mönstret kan emellertid vara baserat på en annan parameter än en optisk parameter. I sådant fall måste naturligtvis sensorn vara av en typ som kan avläsa den aktuella parametern. Exempel på sådana parametrar är kemiska, akustiska eller elektromagnetiska markeringar. Även kapacitiva eller induktiva markeringar kan användas.

Det inses att många variationer är möjliga inom ramen för föreliggande uppfinning. Ordningen mellan ovanstående steg 101-106 kan varieras inom ramen för uppfinningen. Exempelvis kan detektion av och kompensation för förskjutning ske före detektion av och kompensation för vridning och/eller perspektiv. Det är dock föredraget att verkställa förskjutningsstegen efter vridnings- och perspektivbehandlingsstegen, eftersom förskjutningsstegen beräkningstekniskt då blir speciellt enkla.

Det är också tänkbart att man genomför perspektivbehandlingsstegen före vridningsbehandlingsstegen, lämpligen efter att först ha omvandlat avbildningen till en punktmängd. Ett sådant steg för detektion av perspektiv kan exempelvis omfatta indelning av avbildningen i ett flertal delmängder, och detektion av minst en riktning i varje delmängd, exempelvis via Fourieranalys av respektive delmängd. Därefter utvärderas de detekterade riktningarnas förändring över avbildningen för beräkning av en transform som kompenserar för perspektivet i avbildningen. Eventuellt kan samma transform även kompensera för vridning i bildplanet. Utvärderingen kan exempelvis resultera i en identifiering av avbildningens perspektivpunkter, vilka sedermera transformeras till positioner i oändligheten på avbildningens symmetriaxlar, exempelvis

medelst en perspektivtransform av det slag som används vid steg 104 ovan. Om transformeringen endast kompenserar för perspektiv följs denna lämpligen av detektion av vridning och kompensation för densamma, exempelvis enligt

5 ovanstående steg 101-102.

Vidare kan markeringarna ha ett annat utseende än vad som beskrivits i ovanstående exempel. Varje markering kan exempelvis utgöras av ett streck eller en ellips, som börjar i den virtuella rasterpunkten och sträcker sig ut

10 från denna till en bestämd position. Alternativt kan någon annan symbol användas, såsom en kvadrat, rektangel, triangel, cirkel eller ellips, fylld eller ofylld.

Markeringarna behöver heller inte vara anordnade utefter rasterlinjerna i ett ortogonalt raster utan kan

15 också vara anordnade i andra arrangemang, såsom utmed rasterlinjerna i ett raster med 60 graders vinkel, etc.

Raster i form av trianglar och hexagoner kan också användas, såsom visas i fig 11 och 12. För exempelvis ett raster av trianglar, se fig 11, kan varje markering vara

20 förskjuten i sex olika riktningar. För ett hexagonalt raster (bikakeraster), se fig 12, kan markeringarna vara förskjutna i tre olika riktningar, utmed rasterlinjerna. I dessa fall blir bildens huvudvektorer i motsvarande grad fler; i fig 11 finns tre dominerande rasterrikt-

25 ningar, och i fig 12 finns tre dominerande rasterriktningar.

Såsom nämnts behöver markeringarna inte vara förskjutna utmed rasterlinjerna utan kan vara förskjutna i andra riktningar, t ex för att vara belägna i var sin

30 kvadrant vid kvadratisk rastermönster. I det hexagonala rastermönstret kan markeringarna vara förskjutna i fyra eller fler olika riktningar, t ex i sex olika riktningar utmed rasterlinjerna och utmed linjer som bildar 60 grader med rasterlinjerna. I ett ortogonalt raster kan

35 man vid behov använda endast två förskjutningar.

Det må också påpekas att det, beroende på tillgänglig processorkraft, kan vara möjligt att utföra ovan

beskrivna Fourieranalys utgående från hela den faktiska bildinformation som registreras av sensorn. Likaså kan det, om processorkraften är tillräcklig, vara möjligt att beräkna ett fullständigt spatialt frekvensspektrum i två dimensioner, såsom visas i bakgrunden till fig 3, 5 och 8.

Fackmannen inser också att ovan beskrivna analys i frekvensdomänen på motsvarande vis kan verkställas i våglängdsdomänen.

11
12
13
14
15
16
17
18
19
20
21
22
23
24
25
26
27
28
29
30
31
32
33
34
35
36
37
38
39
40
41
42
43
44
45
46
47
48
49
50
51
52
53
54
55
56
57
58
59
60
61
62
63
64
65
66
67
68
69
70
71
72
73
74
75
76
77
78
79
80
81
82
83
84
85
86
87
88
89
90
91
92
93
94
95
96
97
98
99
100
101
102
103
104
105
106
107
108
109
110
111
112
113
114
115
116
117
118
119
120
121
122
123
124
125
126
127
128
129
130
131
132
133
134
135
136
137
138
139
140
141
142
143
144
145
146
147
148
149
150
151
152
153
154
155
156
157
158
159
160
161
162
163
164
165
166
167
168
169
170
171
172
173
174
175
176
177
178
179
180
181
182
183
184
185
186
187
188
189
190
191
192
193
194
195
196
197
198
199
200
201
202
203
204
205
206
207
208
209
210
211
212
213
214
215
216
217
218
219
220
221
222
223
224
225
226
227
228
229
230
231
232
233
234
235
236
237
238
239
240
241
242
243
244
245
246
247
248
249
250
251
252
253
254
255
256
257
258
259
260
261
262
263
264
265
266
267
268
269
270
271
272
273
274
275
276
277
278
279
280
281
282
283
284
285
286
287
288
289
290
291
292
293
294
295
296
297
298
299
300
301
302
303
304
305
306
307
308
309
310
311
312
313
314
315
316
317
318
319
320
321
322
323
324
325
326
327
328
329
330
331
332
333
334
335
336
337
338
339
340
341
342
343
344
345
346
347
348
349
350
351
352
353
354
355
356
357
358
359
360
361
362
363
364
365
366
367
368
369
370
371
372
373
374
375
376
377
378
379
380
381
382
383
384
385
386
387
388
389
390
391
392
393
394
395
396
397
398
399
400
401
402
403
404
405
406
407
408
409
410
411
412
413
414
415
416
417
418
419
420
421
422
423
424
425
426
427
428
429
430
431
432
433
434
435
436
437
438
439
440
441
442
443
444
445
446
447
448
449
450
451
452
453
454
455
456
457
458
459
460
461
462
463
464
465
466
467
468
469
470
471
472
473
474
475
476
477
478
479
480
481
482
483
484
485
486
487
488
489
490
491
492
493
494
495
496
497
498
499
500
501
502
503
504
505
506
507
508
509
510
511
512
513
514
515
516
517
518
519
520
521
522
523
524
525
526
527
528
529
530
531
532
533
534
535
536
537
538
539
540
541
542
543
544
545
546
547
548
549
550
551
552
553
554
555
556
557
558
559
560
561
562
563
564
565
566
567
568
569
570
571
572
573
574
575
576
577
578
579
580
581
582
583
584
585
586
587
588
589
590
591
592
593
594
595
596
597
598
599
600
601
602
603
604
605
606
607
608
609
610
611
612
613
614
615
616
617
618
619
620
621
622
623
624
625
626
627
628
629
630
631
632
633
634
635
636
637
638
639
640
641
642
643
644
645
646
647
648
649
650
651
652
653
654
655
656
657
658
659
660
661
662
663
664
665
666
667
668
669
670
671
672
673
674
675
676
677
678
679
680
681
682
683
684
685
686
687
688
689
690
691
692
693
694
695
696
697
698
699
700
701
702
703
704
705
706
707
708
709
710
711
712
713
714
715
716
717
718
719
720
721
722
723
724
725
726
727
728
729
730
731
732
733
734
735
736
737
738
739
740
741
742
743
744
745
746
747
748
749
750
751
752
753
754
755
756
757
758
759
760
761
762
763
764
765
766
767
768
769
770
771
772
773
774
775
776
777
778
779
780
781
782
783
784
785
786
787
788
789
790
791
792
793
794
795
796
797
798
799
800
801
802
803
804
805
806
807
808
809
810
811
812
813
814
815
816
817
818
819
820
821
822
823
824
825
826
827
828
829
830
831
832
833
834
835
836
837
838
839
840
841
842
843
844
845
846
847
848
849
850
851
852
853
854
855
856
857
858
859
860
861
862
863
864
865
866
867
868
869
870
871
872
873
874
875
876
877
878
879
880
881
882
883
884
885
886
887
888
889
890
891
892
893
894
895
896
897
898
899
900
901
902
903
904
905
906
907
908
909
910
911
912
913
914
915
916
917
918
919
920
921
922
923
924
925
926
927
928
929
930
931
932
933
934
935
936
937
938
939
940
941
942
943
944
945
946
947
948
949
950
951
952
953
954
955
956
957
958
959
960
961
962
963
964
965
966
967
968
969
970
971
972
973
974
975
976
977
978
979
980
981
982
983
984
985
986
987
988
989
990
991
992
993
994
995
996
997
998
999
1000
1001
1002
1003
1004
1005
1006
1007
1008
1009
1010
1011
1012
1013
1014
1015
1016
1017
1018
1019
1020
1021
1022
1023
1024
1025
1026
1027
1028
1029
1030
1031
1032
1033
1034
1035
1036
1037
1038
1039
1040
1041
1042
1043
1044
1045
1046
1047
1048
1049
1050
1051
1052
1053
1054
1055
1056
1057
1058
1059
1060
1061
1062
1063
1064
1065
1066
1067
1068
1069
1070
1071
1072
1073
1074
1075
1076
1077
1078
1079
1080
1081
1082
1083
1084
1085
1086
1087
1088
1089
1090
1091
1092
1093
1094
1095
1096
1097
1098
1099
1100
1101
1102
1103
1104
1105
1106
1107
1108
1109
1110
1111
1112
1113
1114
1115
1116
1117
1118
1119
1120
1121
1122
1123
1124
1125
1126
1127
1128
1129
1130
1131
1132
1133
1134
1135
1136
1137
1138
1139
1140
1141
1142
1143
1144
1145
1146
1147
1148
1149
1150
1151
1152
1153
1154
1155
1156
1157
1158
1159
1160
1161
1162
1163
1164
1165
1166
1167
1168
1169
1170
1171
1172
1173
1174
1175
1176
1177
1178
1179
1180
1181
1182
1183
1184
1185
1186
1187
1188
1189
1190
1191
1192
1193
1194
1195
1196
1197
1198
1199
1200
1201
1202
1203
1204
1205
1206
1207
1208
1209
1210
1211
1212
1213
1214
1215
1216
1217
1218
1219
1220
1221
1222
1223
1224
1225
1226
1227
1228
1229
1230
1231
1232
1233
1234
1235
1236
1237
1238
1239
1240
1241
1242
1243
1244
1245
1246
1247
1248
1249
1250
1251
1252
1253
1254
1255
1256
1257
1258
1259
1260
1261
1262
1263
1264
1265
1266
1267
1268
1269
1270
1271
1272
1273
1274
1275
1276
1277
1278
1279
1280
1281
1282
1283
1284
1285
1286
1287
1288
1289
1290
1291
1292
1293
1294
1295
1296
1297
1298
1299
1300
1301
1302
1303
1304
1305
1306
1307
1308
1309
1310
1311
1312
1313
1314
1315
1316
1317
1318
1319
1320
1321
1322
1323
1324
1325
1326
1327
1328
1329
1330
1331
1332
1333
1334
1335
1336
1337
1338
1339
1340
1341
1342
1343
1344
1345
1346
1347
1348
1349
1350
1351
1352
1353
1354
1355
1356
1357
1358
1359
1360
1361
1362
1363
1364
1365
1366
1367
1368
1369
1370
1371
1372
1373
1374
1375
1376
1377
1378
1379
1380
1381
1382
1383
1384
1385
1386
1387
1388
1389
1390
1391
1392
1393
1394
1395
1396
1397
1398
1399
1400
1401
1402
1403
1404
1405
1406
1407
1408
1409
1410
1411
1412
1413
1414
1415
1416
1417
1418
1419
1420
1421
1422
1423
1424
1425
1426
1427
1428
1429
1430
1431
1432
1433
1434
1435
1436
1437
1438
1439
1440
1441
1442
1443
1444
1445
1446
1447
1448
1449
1450
1451
1452
1453
1454
1455
1456
1457
1458
1459
1460
1461
1462
1463
1464
1465
1466
1467
1468
1469
1470
1471
1472
1473
1474
1475
1476
1477
1478
1479
1480
1481
1482
1483
1484
1485
1486
1487
1488
1489
1490
1491
1492
1493
1494
1495
1496
1497
1498
1499
1500
1501
1502
1503
1504
1505
1506
1507
1508
1509
1510
1511
1512
1513
1514
1515
1516
1517
1518
1519
1520
1521
1522
1523
1524
1525
1526
1527
1528
1529
1530
1531
1532
1533
1534
1535
1536
1537
1538
1539
1540
1541
1542
1543
1544
1545
1546
1547
1548
1549
1550
1551
1552
1553
1554
1555
1556
1557
1558
1559
1560
1561
1562
1563
1564
1565
1566
1567
1568
1569
1570
1571
1572
1573
1574
1575
1576
1577
1578
1579
1580
1581
1582
1583
1584
1585
1586
1587
1588
1589
1590
1591
1592
1593
1594
1595
1596
1597
1598
1599
1600
1601
1602
1603
1604
1605
1606
1607
1608
1609
1610
1611
1612
1613
1614
1615
1616
1617
1618
1619
1620
1621
1622
1623
1624
1625
1626
1627
1628
1629
1630
1631
1632
1633
1634
1635
1636
1637
1638
1639
1640
1641
1642
1643
1644
1645
1646
1647
1648
1649
1650
1651
1652
1653
1654
1655
1656
1657
1658
1659
1660
1661
1662
1663
1664
1665
1666
1667
1668
1669
1670
1671
1672
1673
1674
1675
1676
1677
1678
1679
1680
1681
1682
1683
1684
1685
1686
1687
1688
1689
1690
1691
1692
1693
1694
1695
1696
1697
1698
1699
1700
1701
1702
1703
1704
1705
1706
1707
1708
1709
1710
1711
1712
1713
1714
1715
1716
1717
1718
1719
1720
1721
1722
1723
1724
1725
1726
1727
1728
1729
1730
1731
1732
1733
1734
1735
1736
1737
1738
1739
1740
1741
1742
1743
1744
1745
1746
1747
1748
1749
1750
1751
1752
1753
1754
1755
1756
1757
1758
1759
1760
1761
1762
1763
1764
1765
1766
1767
1768
1769
1770
1771
1772
1773
1774
1775
1776
1777
1778
1779
1780
1781
1782
1783
1784
1785
1786
1787
1788
1789
1790
1791
1792
1793
1794
1795
1796
1797
1798
1799
1800
1801
1802
1803
1804
1805
1806
1807
1808
1809
1810
1811
1812
1813
1814
1815
1816
1817
1818
1819
1820
1821
1822
1823
1824
1825
1826
1827
1828
1829
1830
1831
1832
1833
1834
1835
1836
1837
1838
1839
1840
1841
1842
1843
1844
1845
1846
1847
1848
1849
1850
1851
1852
1853
1854
1855
1856
1857
1858
1859
1860
1861
1862
1863
1864
1865
1866
1867
1868
1869
1870
1871
1872
1873
1874
1875
1876
1877
1878
1879
1880
1881
1882
1883
1884
1885
1886
1887
1888
1889
1890
1891
1892
1893
1894
1895
1896
1897
1898
1899
1900
1901
1902
1903
1904
1905
1906
1907
1908
1909
1910
1911
1912
1913
1914
1915
1916
1917
1918
1919
1920
1921
1922
1923
1924
1925
1926
1927
1928
1929
1930
1931
1932
1933
1934
1935
1936
1937
1938
1939
1940
1941
1942
1943
1944
1945
1946
1947
1948
1949
1950
1951
1952
1953
1954
1955
1956
1957
1958
1959
1960
1961
1962
1963
1964
1965
1966
1967
1968
1969
1970
1971
1972
1973
1974
1975
1976
1977
1978
1979
1980
1981
1982
1983
1984
1985
1986
1987
1988
1989
1990
1991
1992
1993
1994
1995
1996
1997
1998
1999
2000
2001
2002
2003
2004
2005
2006
2007
2008
2009
2010
2011
2012
2013
2014
2015
2016
2017
2018
2019
2020
2021
2022
2023
2024
2025
2026
2027
2028
2029
2030
2031
2032
2033
2034
2035
2036
2037
2038
2039
2040
2041
2042
2043
2044
2045
2046
2047
2048
2049
2050
2051
2052
2053
2054
2055
2056
2057
2058
2059
2060
2061
2062
2063
2064
2065
2066
2067
2068
2069
2070
2071
2072
2073
2074
2075
2076
2077
2078
2079
2080
2081
2082
2083
2084
2085
2086
2087
2088
2089
2090
2091
2092
2093
2094
2095
2096
2097
2098
2099
2100
2101
2102
2103
2104
2105
2106
2107
2108
2109
2110
2111
2112
2113
2114
2115
2116
2117
2118
2119
2120
2121
2122
2123
2124
2125
2126
2127
2128
2129
2130
2131
2132
2133
2134
2135
2136
2137
2138
2139
2140
2141
2142
2143
2144
2145
2146
2147
2148
2149
2150
2151
2152
2153
2154
2155
2156
2157
2158
2159
2160
216

APPENDIX A

Ett optiskt system med förstoringen m avbildar
rymdkoordinaten (x, y, z) på sensorkoordinaten (x_s, y_s)
5 enligt projektnsformeln:

$$\begin{cases} x_s = -m \frac{x}{z} \\ y_s = -m \frac{y}{z} \end{cases} \quad (1)$$

Antag nu två punkter i rymden, P^1 och P^2 . Dessa
ligger på ett lutande plan vars z -komponent beskrivs av
 $z = z_0 + ax + by$. Punkterna P^1 , P^2 ligger vidare symmetriskt på
10 var sin sida av x -axeln, i läge x_0 , och får då koordinat-
terna:

$$\begin{cases} P^1 = (x_0, y_0, z_0 + ax_0 + by_0) \\ P^2 = (x_0, -y_0, z_0 + ax_0 - by_0) \end{cases}$$

Efter projektn enligt (1) hamnar punkterna P^1 , P^2
på sensorkoordinaterna P_s^1 , P_s^2 :

$$\begin{cases} P_s^1 = -\frac{m}{z_0 + ax_0 + by_0} (x_0, y_0) \\ P_s^2 = -\frac{m}{z_0 + ax_0 - by_0} (x_0, -y_0) \end{cases}$$

Vi räknar nu ut lutningen i sensorn, $\Delta x_s / \Delta y_s$,
mellan P_s^1 och P_s^2 :

$$\begin{aligned} \frac{\Delta x_s}{\Delta y_s} &= \frac{-m \cdot \left(\frac{x_0}{z_0 + ax_0 + by_0} - \frac{x_0}{z_0 + ax_0 - by_0} \right)}{-m \cdot \left(\frac{y_0}{z_0 + ax_0 + by_0} + \frac{y_0}{z_0 + ax_0 - by_0} \right)} = \\ &= \frac{(z_0 + ax_0 - by_0) \cdot x_0 - (z_0 + ax_0 + by_0) \cdot x_0}{(z_0 + ax_0 - by_0) \cdot y_0 + (z_0 + ax_0 + by_0) \cdot y_0} = \frac{-bx_0}{z_0 + ax_0} \end{aligned} \quad (2)$$

20 En punkt P^3 mitt på x -axeln, i läge x_0 ,
 $P^3 = (x_0, 0, z_0 + ax_0)$, avbildas enligt (1) på:

$$P_s^3 = -m \cdot \left(\frac{x_0}{z_0 + ax_0}, 0 \right) \equiv (x_s, 0) \quad (3)$$

Vi ser om vi jämför (3) med (2) att lutningen i
sensorn förändras linjärt enligt:

$$\frac{\Delta x_s}{\Delta y_s} = \frac{b}{m} x_s \quad (4)$$

Av symmetriskäl gäller motsvarande ekvation för lutningen i y-led. Vi vet nu alltså:

$$\begin{cases} \frac{\Delta x_s}{\Delta y_s} (x_s) = \frac{b}{m} x_s \\ \frac{\Delta y_s}{\Delta x_s} (y_s) = \frac{a}{m} y_s \end{cases}$$

- 5 Ett raster beläget på det lutande planet kommer förutom denna strikt linjära komponent även innehålla en konstant lutning, om rastret inte är perfekt centrerat. Vi får då följande mer generella ekvation:

$$\begin{cases} \frac{\Delta x_s}{\Delta y_s} (x_s) = \frac{b}{m} x_s + mk_x = kk_x \cdot x_s + mk_x \\ \frac{\Delta y_s}{\Delta x_s} (y_s) = \frac{a}{m} y_s + mk_y = kk_y \cdot y_s + mk_y \end{cases} \quad (5)$$

- 10 Ett generellt perspektiv kan alltså beskrivas av de fyra variablerna mk_x , mk_y , kk_x , kk_y . Nu återstår att hitta transformen som återför bildkoordinaterna till ett ortogonalt förhållande, givet mk_x , mk_y , kk_x , kk_y . För att göra detta subtraherar vi först bort den konstanta delen
15 av lutningen (härhörande från kvarvarande vridning) så att lutningen vid koordinataxlarna är noll:

$$\begin{cases} x_s^t = x_s - y_s \cdot mk_x \\ y_s^t = y_s - x_s \cdot mk_y \end{cases} \quad (6)$$

- Sedan används (1) för att transformera dessa vridningskorrigerade koordinater i bakåtriktningen. Det går
20 utan förlust av generalitet att sätta $z_0=m$, eftersom detta endast medför skalning av koordinaterna. Vi har

$$\text{från (1): } \begin{cases} x = \frac{z \cdot x_s^t}{-m} \\ y = \frac{z \cdot y_s^t}{-m} \end{cases}$$

$$\text{från (5): } \begin{cases} a = m \cdot kk_y \\ b = m \cdot kk_x \end{cases}$$

samt antagandet: $z = m + ax + by$,

- 25 vilket ger oss det olinjära ekvationsystemet:

2000 -11- 1 0

Huvudfaxen Kassan

PATENTKRAV

1. Sätt att identifiera ett virtuellt rastermönster
5 (5) i en avbildning av ett flertal markeringar (4) som
var och en är associerad med en respektive korsningspunkt
(6) för rasterlinjer (7) tillhörande nämnda rastermönster
(5), k ä n n e t e c k n a t av att det virtuella raster-
mönstret (5) identifieras via Fourieranalys av nämnda
10 avbildning.

2. Sätt enligt krav 1, omfattande steget att före
Fourieranalysen omvandla avbildningen till en uppsättning
enhetspulser, vilka placeras i markeringarnas (4) posi-
tioner i avbildningen.

15 3. Sätt enligt krav 2, varvid varje enhetspuls pla-
ceras i tyngdpunkten av motsvarande markering (4).

4. Sätt enligt något av kraven 1-3, varvid nämnda
Fourieranalys omfattar stegen:

20 att beräkna ett spatialt frekvensspektrum i två
dimensioner på basis av nämnda avbildning,

att utgående från nämnda frekvensspektrum identi-
fiera minst två huvudvektorer hos nämnda avbildning, och

att på basis av nämnda huvudvektorer identifiera
rasterlinjerna (7) hos nämnda rastermönster (5).

25 5. Sätt enligt krav 4, varvid det spatiala frek-
vensspektrat beräknas utgående från en tvådimensionell
Fouriertransform längs minst två riktningar i nämnda
avbildning.

30 6. Sätt enligt kraven 4 eller 5, varvid det spa-
tiala frekvensspektrat beräknas på basis av ett centralt
parti av avbildningen.

7. Sätt enligt något av kraven 4-6, varvid steget
att identifiera minst två huvudvektorer omfattar del-
stegen:

35 att i det spatiala frekvensspektrat lokalisera
positioner för toppar som överskrider ett givet tröskel-
värde, och

2000 -11- 1 0

Huvudfaxen Kassan

att på basis av nämnda positioner välja nämnda
minst två huvudvektorer.

8. Sätt enligt något av kraven 4-7, varvid stegen
att beräkna ett spatialt frekvensspektrum och identifiera
5 huvudvektorer däri omfattar delstegen:

att stegvis ändra riktningen för en riktningsvektor
inom ett vinkelintervall,

- att på basis av varje sådan riktningsvektor beräkna
minst ett absolutvärde av den tvådimensionella Fourier-
10 transformen för avbildningen, och

att identifiera de absolutvärden som överskrider
nämnda tröskelvärde.

9. Sätt enligt krav 8, varvid riktningsvektorns
längd ändras inom ett frekvensintervall som innefattar
15 rastermönstrets (5) nominella spatialfrekvens.

10. Sätt enligt krav 9, varvid riktningsvektorns
längd ändras stegvis, företrädesvis i steg som är omvänt
proportionella mot ett 2-potens-värde.

11. Sätt enligt något av kraven 8-10, varvid posi-
20 tionen för var och en av nämnda toppar lokaliseras genom
beräkning av tyngdpunkten för de absolutvärden som över-
skrider nämnda tröskelvärde och som angränsar varandra i
det spatiala frekvensspektrat.

12. Sätt enligt något av kraven 7-11, varvid del-
25 steget att välja minst två huvudvektorer omfattar:

att låta varje position identifiera en kandidat-
vektor (c1-c3),

- att låta minst en aktuell avbildningstransform, som
ger en given ändring av förhållandet mellan två vektorer,
30 operera på nämnda kandidatvektorer (c1-c3), och

att som huvudvektorer välja de kandidatvektorer som
för nämnda minst en aktuell avbildningstransform uppnår
ett önskat inbördes förhållande.

13. Sätt enligt krav 12, varvid varje aktuell av-
35 bildningstransform motsvarar ett givet avbildningsför-
hållande mellan en sensor (14) som registrerar nämnda

avbildning och ett objekt (1) som är försett med nämnda flertal markeringar (4).

14. Sätt enligt krav 12 eller 13, omfattande stegen att sekventiellt låta en serie av olika aktuella avbildningstransformer operera på nämnda kandidatvektorer (c1-c3), åtminstone tills ett önskat inbördes förhållande uppnås mellan nämnda kandidatvektorer.

15. Sätt enligt något av kraven 12-14, varvid nämnda rastermönster (5) identifieras på basis av den avbildningstransform som gav upphov till det önskade förhållandet mellan kandidatvektorerna (c1-c3).

16. Sätt enligt krav 12 eller 13, varvid den aktuella avbildningstransformen väljs på basis av en tidigare avbildningstransform som gav upphov till det önskade förhållandet för en föregående avbildning.

17. Sätt enligt något av kraven 4-16, varvid nämnda huvudvektorer väljs på basis av tidigare huvudvektorer som fastställts för en föregående avbildning.

18. Sätt enligt något av föregående krav, omfattande steget att transformera nämnda markeringar (4) med huvudvektorerna som bas för åstadkommande av en vridningskorrigerad avbildning i vilken vridning av markeringarna (4) över avbildningens bildplan är väsentligen eliminerad.

19. Sätt enligt krav 18, omfattande det ytterligare steget att kompensera för perspektiv i den vridningskorrigerade avbildningen.

20. Sätt enligt krav 18 eller 19, omfattande de ytterligare stegen:

30 att fastställa bredden på de mot huvudvektorerna svarande topparna i ett spatialt frekvensspektrum av nämnda vridningskorrigerade avbildning, och

35 att kompensera för perspektiv i den vridningskorrigerade avbildningen om bredden överstiger ett givet breddvärde.

21. Sätt enligt krav 19 eller 20, varvid steget att kompensera för perspektiv omfattar delstegen:

att mäta en lutningsvariation för rastermönstret längs varje huvudvektor i den vridningskorrigerade avbildningen,

- 5 att på basis av den uppmätta lutningsvariationen beräkna en perspektivtransform som väsentligen eliminerar nämnda lutningsvariation, och

att medelst perspektivtransformen åstadkomma en perspektivkorrigerad avbildning.

- 10 22. Sätt enligt krav 21, varvid mätningen av lutningsvariationen för rastermönstret längs en vald huvudvektor omfattar delstegen:

att via Fourieranalys av minst två längs den valda huvudvektorn fördelade delmängder av den vridningskorrigerade avbildningen beräkna minst en delmängdshuvudvektor
15 för varje delmängd,

att för varje delmängdshuvudvektor identifiera en utgångsposition i den tillhörande delmängden, och

- att på basis av nämnda delmängdshuvudvektorer och utgångspositioner beräkna lutningsvariationen längs den
20 valda huvudvektorn.

23. Sätt enligt krav 22, varvid utgångspositionen identifieras på basis av tyngdpunkten för de i respektive delmängd ingående markeringarna.

24. Sätt enligt något av kraven 18-23, omfattande
25 de ytterligare stegen:

att via Fourieranalys av den vridningskorrigerande eller perspektivkorrigerade avbildningen mäta dess fasförskjutning längs respektive huvudvektor, och

- att på basis av de uppmätta fasförskjutningarna
30 lokalisera rastermönstret (5) relativt nämnda markeringar (4) i avbildningen.

25. Sätt enligt krav 24, omfattande det ytterligare stegen:

- att beräkna en normeringstransform som placerar
35 rastermönstrets (5) korsningspunkter (6) på ett givet inbördes avstånd, och

att operera normeringstransformen på avbildningen för åstadkommande av en normerad avbildning.

26. Sätt att identifiera ett virtuellt raster-
mönster (5) i en avbildning av ett flertal markeringar
5 (4) som var och en är associerad med en respektive kors-
ningspunkt (6) för rasterlinjer (7) tillhörande nämnda
rastermönster (5), k ä n n e t e c k n a t av stegen:

att via Fourieranalys detektera huvudvektorer hos
avbildningen,

10 att på basis av nämnda huvudvektorer kompensera för
vridning i avbildningens bildplan,

att detektera ett perspektiv i avbildningen,

att, vid behov, kompensera för nämnda perspektiv,

och

15 att, på basis av nämnda huvudvektorer, identifiera
det virtuella rastermönstret (5).

27. Datorprogramprodukt som är avläsbar för en
dator och innefattar ett datorprogram med instruktioner
för att bringa datorn att genomföra ett sätt enligt något
20 av kraven 1-26.

28. Anordning för positionsbestämning, innefattande
en sensor (14) för åstadkommande av en avbildning av en
delyta av en yta (2), som är försedd med en positionskod
i form av ett flertal markeringar (4) som var och en är
25 associerad med en av ett flertal korsningspunkter (6)
tillhörande ett virtuellt rastermönster (5), och ett
bildbehandlingsorgan (16), som är anordnat att utifrån en
delmängd av ytan (2) beräkna en position för delytan,
varvid bildbehandlingsorganet (16) är utformat att iden-
30 tifiera det virtuella rastermönstret (5) i enlighet med
något av kraven 1-26.

29. Anordning enligt krav 28, vilken är handhållen.

30. Anordning enligt krav 28 eller 29, vilken har
ett organ (19) för trådlös överföring av positionsinfor-
35 mation.

SAMMANDRAG

5 Ett sätt syftar till att identifiera ett virtuellt
rastermönster i en avbildning av en yta som är försedd
med ett flertal positionskodande markeringar. Varje
markering är associerad med en respektive korsningspunkt
för rasterlinjer tillhörande rastermönstret. Vid sättet
identifieras det virtuella rastermönstret via Fourier-
analys av avbildningen.

10 En datorprogramprodukt och en anordning för posi-
tionsbestämning beskrivs också.

15

20

25

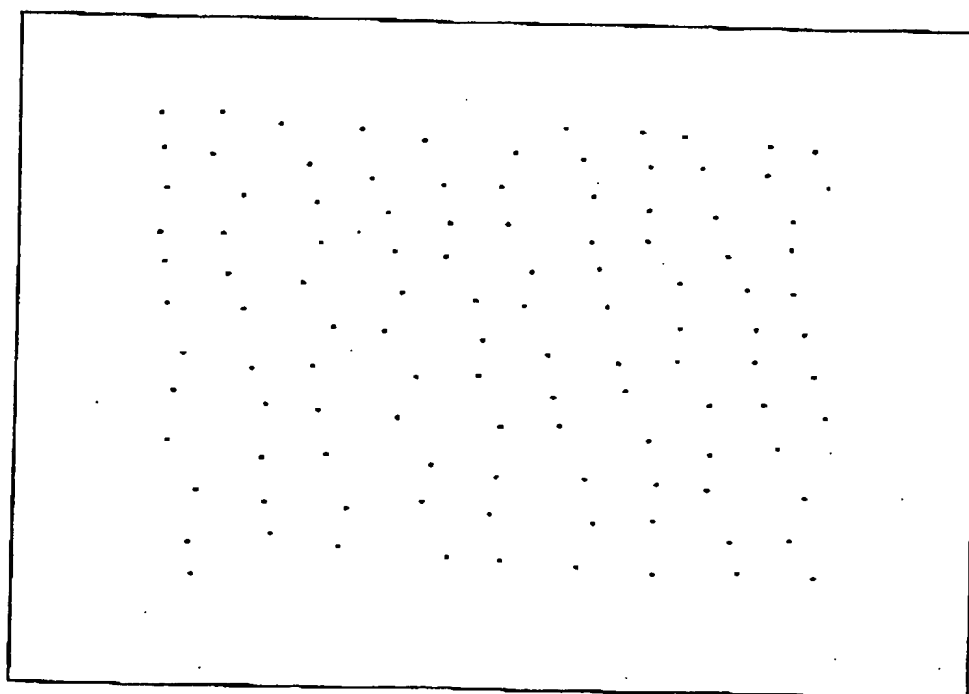
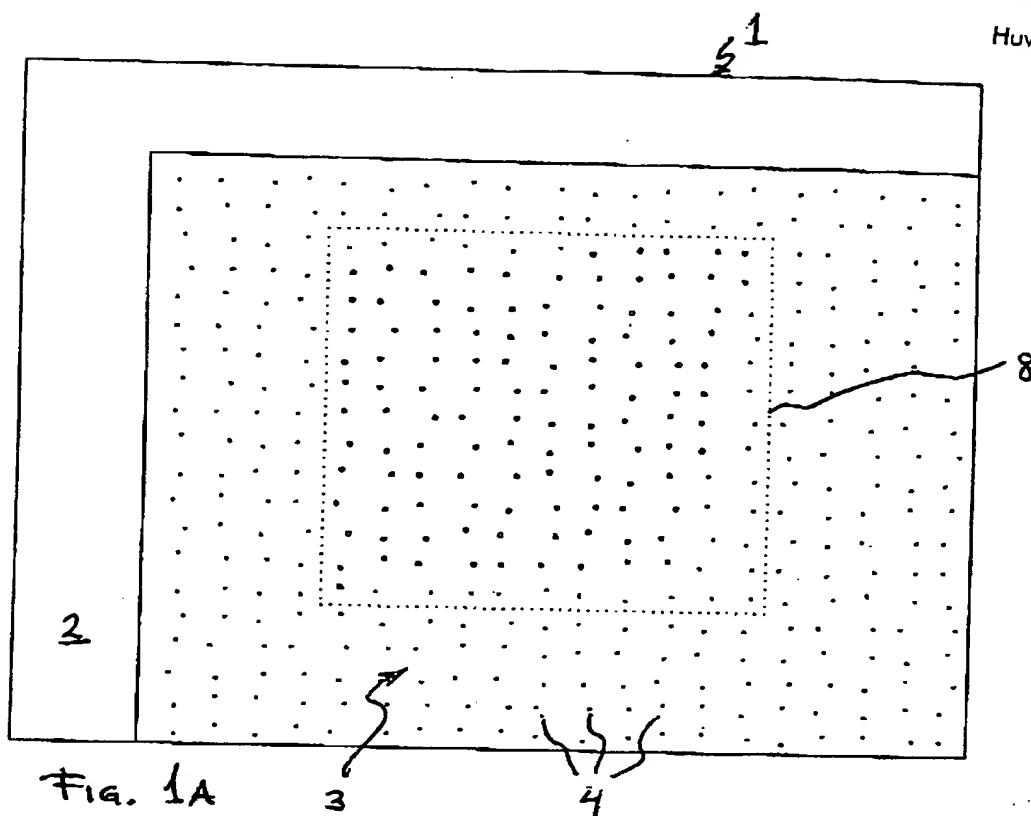
30

35 Publiceringsbild: fig 2

Ink. t. Patent- och reg.verket

2000 -11- 1 0

Huvudfaxen Kassan



00041000

Ink. t. Patent- och reg.verket

2000 -11- 1 0

Huvudfaxen Kassen

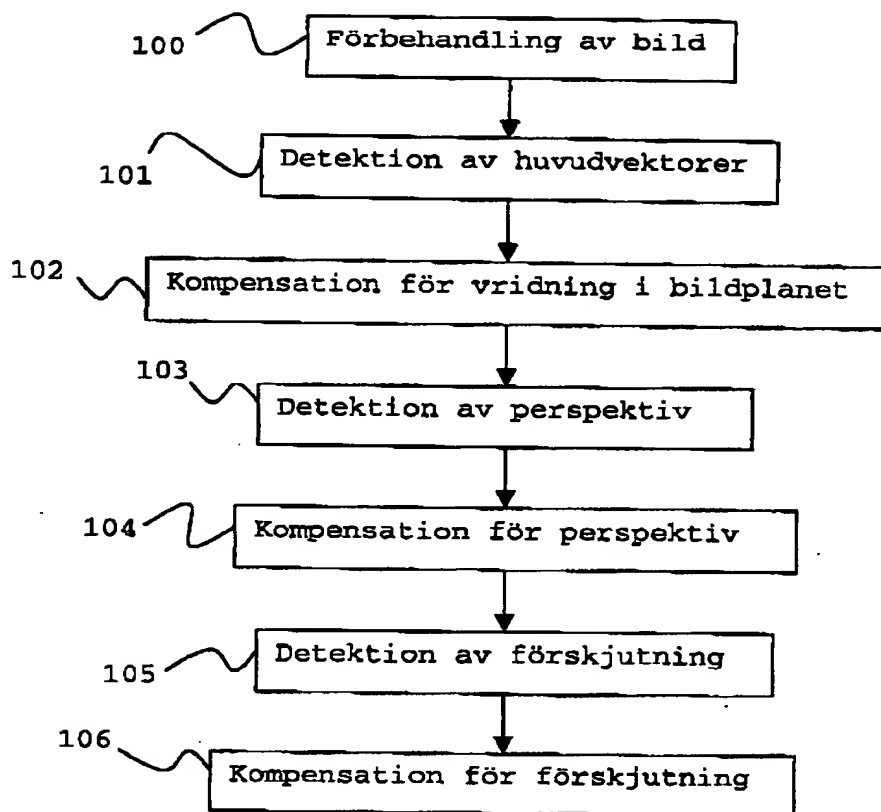


FIG. 2

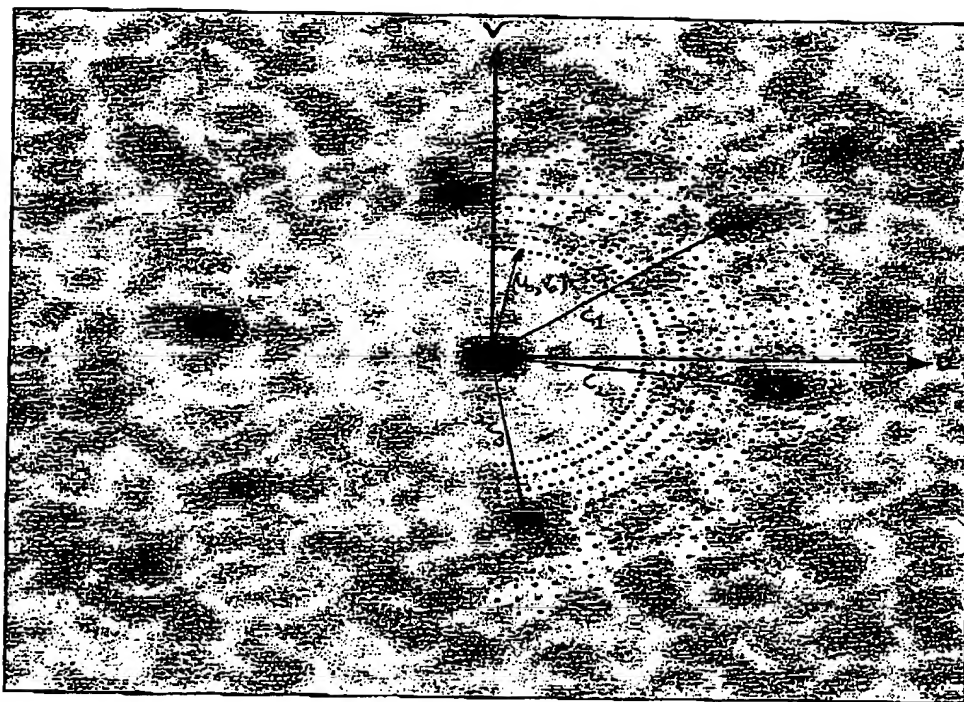


FIG. 3

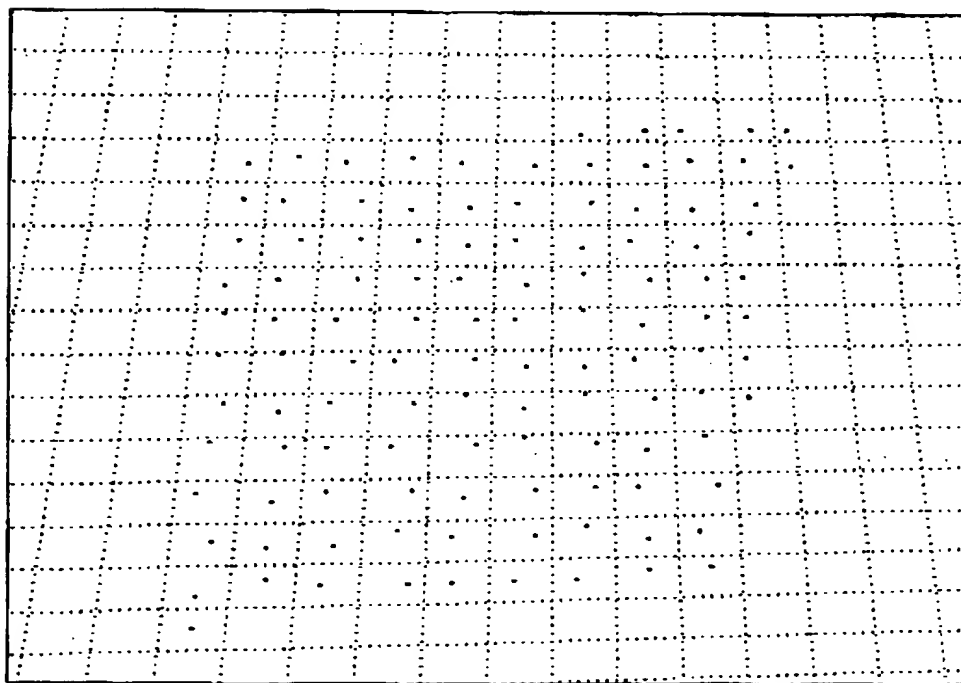


FIG. 4

BEST AVAILABLE COPY

1 000 000

Ink. t. Patent- och reg.verket

2000 -11- 1 0

Huvudfaxen Kassan

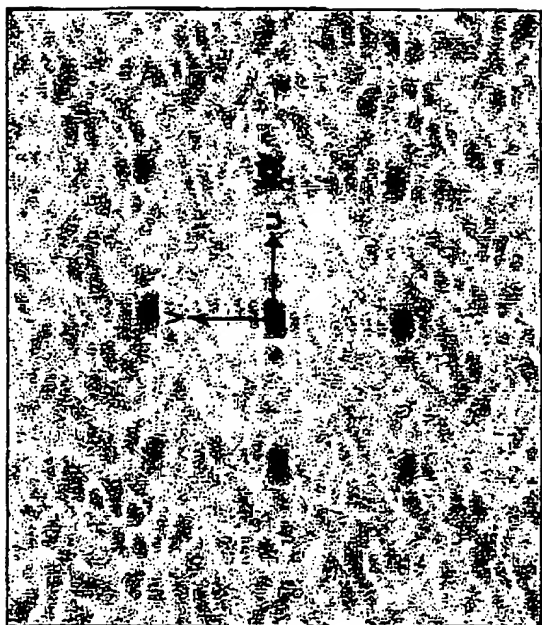


FIG. 5B

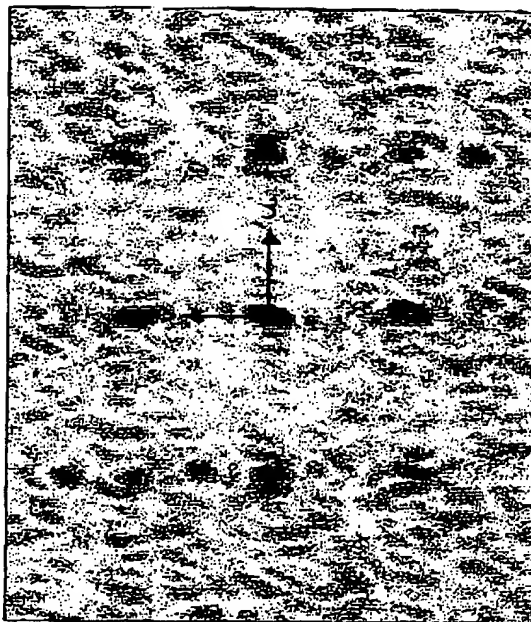


FIG. 5D

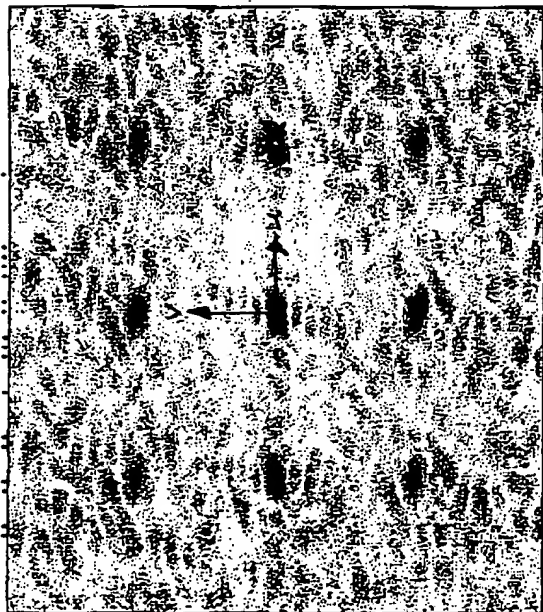


FIG. 5A

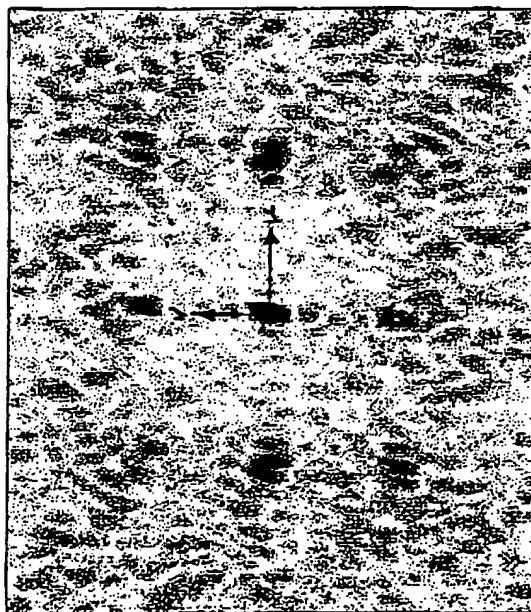


FIG. 5C

BEST AVAILABLE COPY

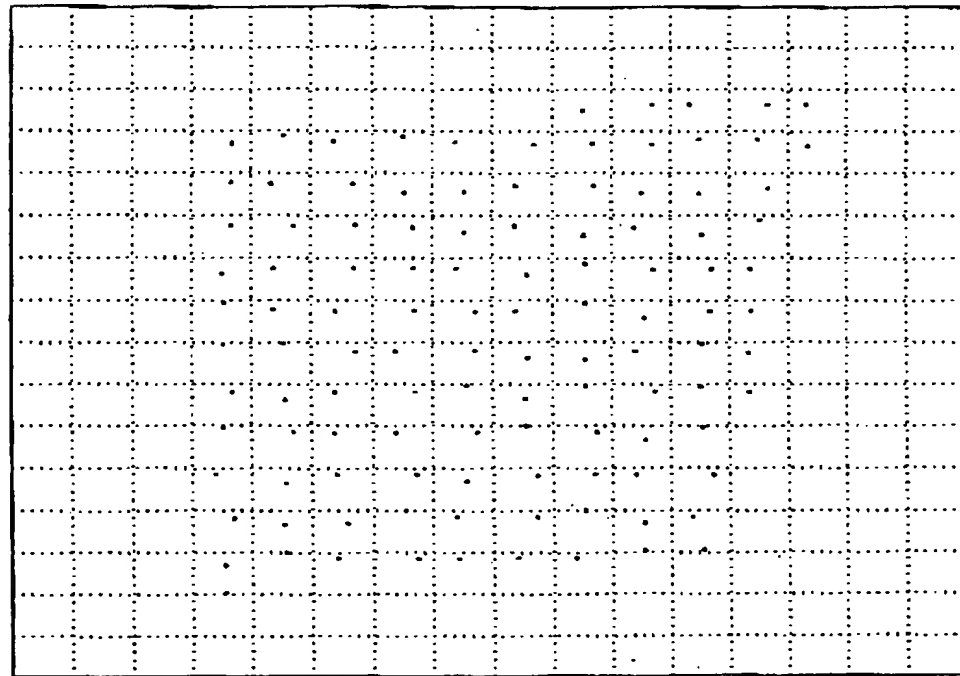
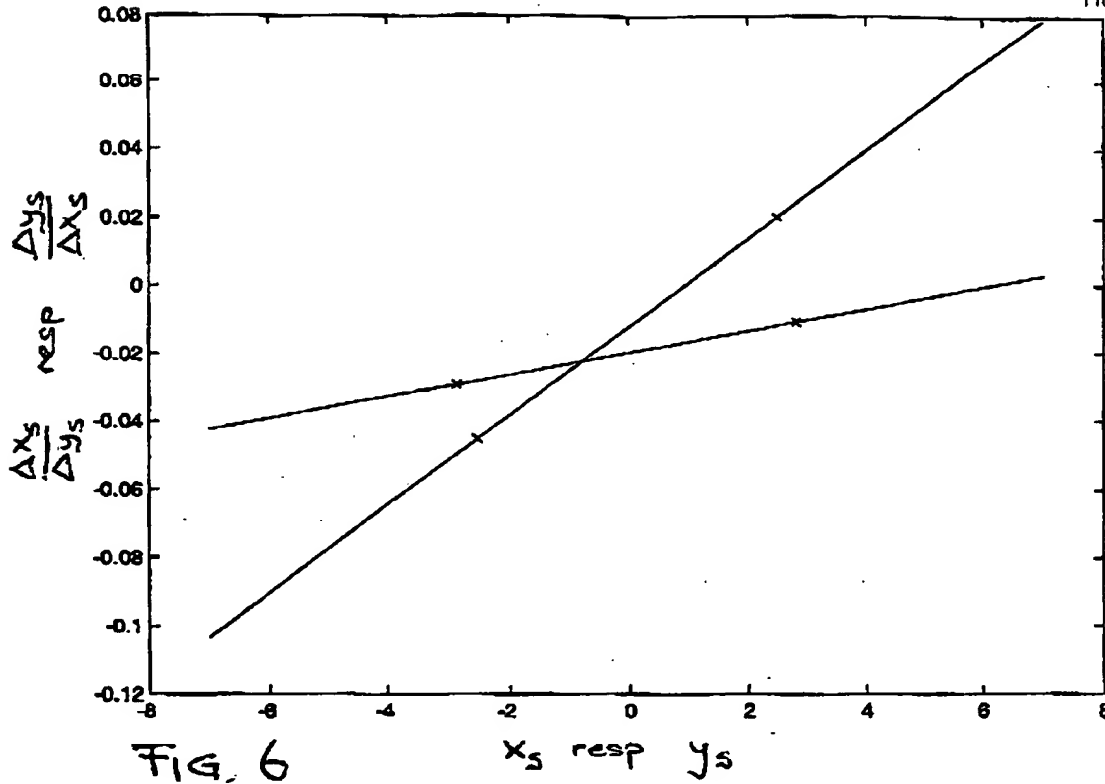


FIG. 7

2000-11-10

Huvudfaxen Kassan

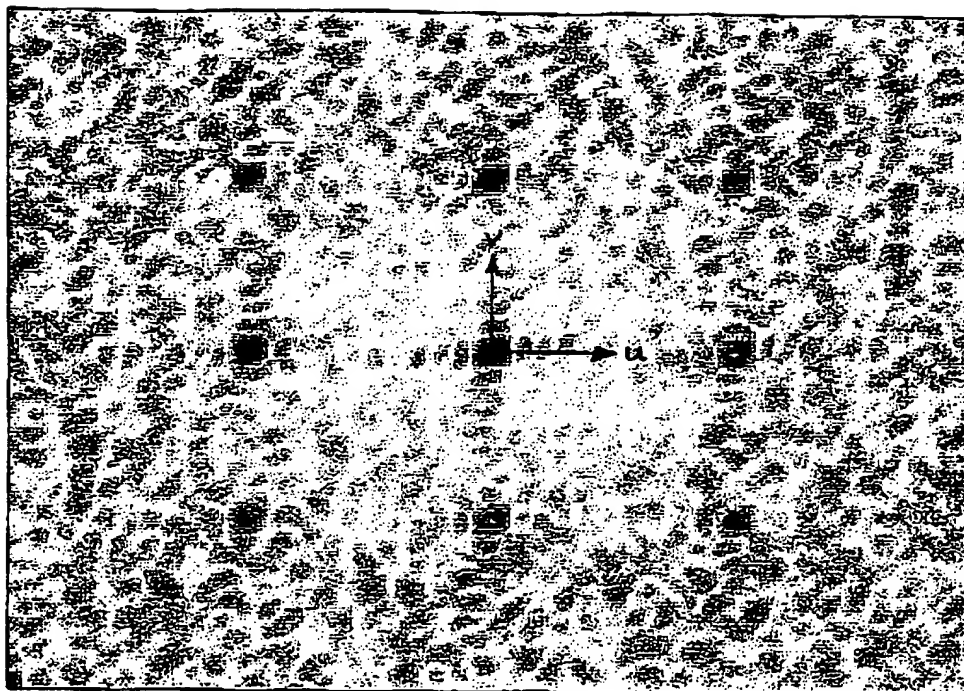


FIG. 8

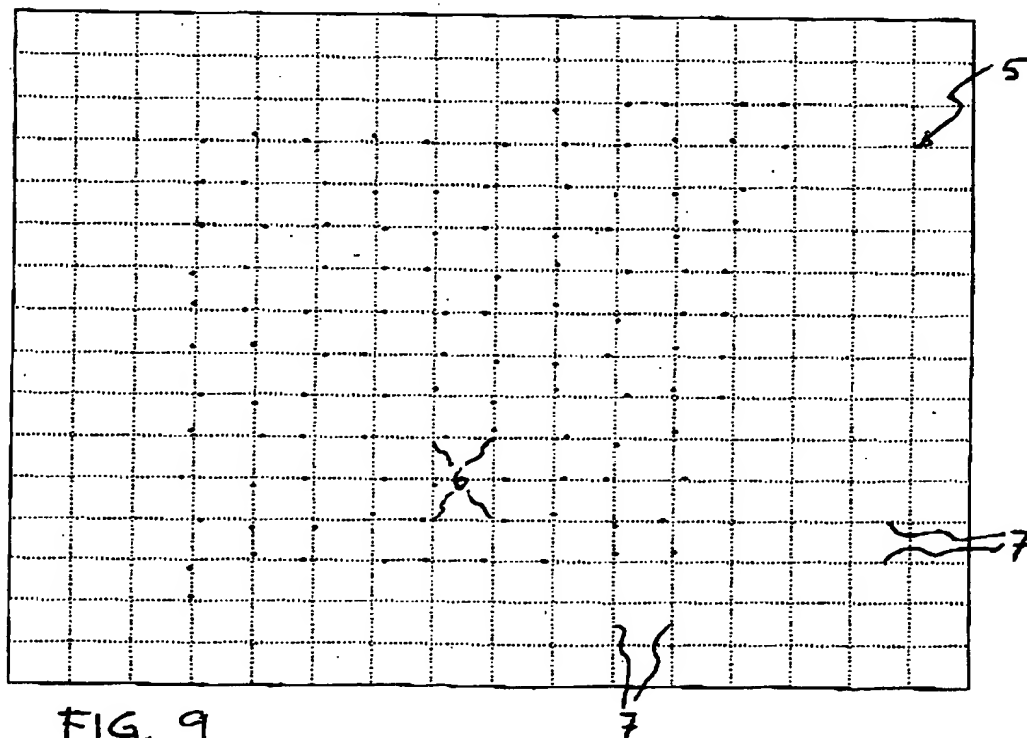


FIG. 9

BEST AVAILABLE COPY

Ink. t. Patent- och reg.verket

2000 -11- 1 0

Huvudfaxen Kassa

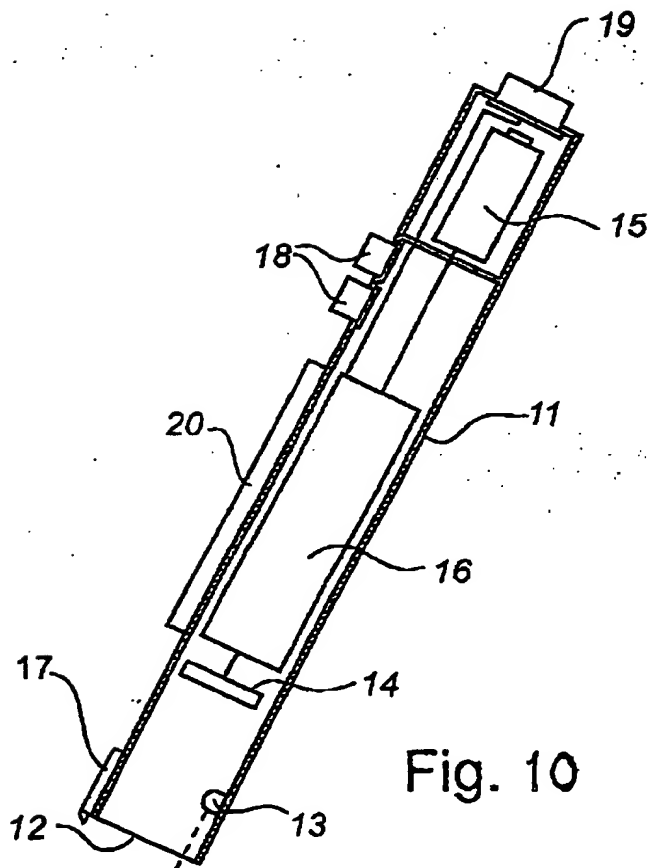


Fig. 10

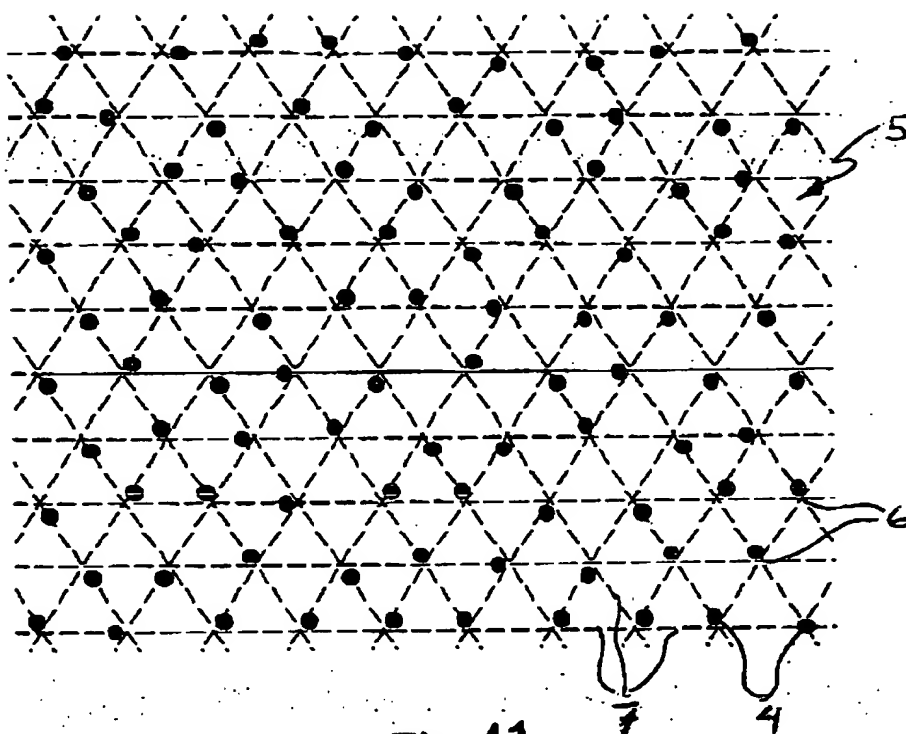


Fig. 11

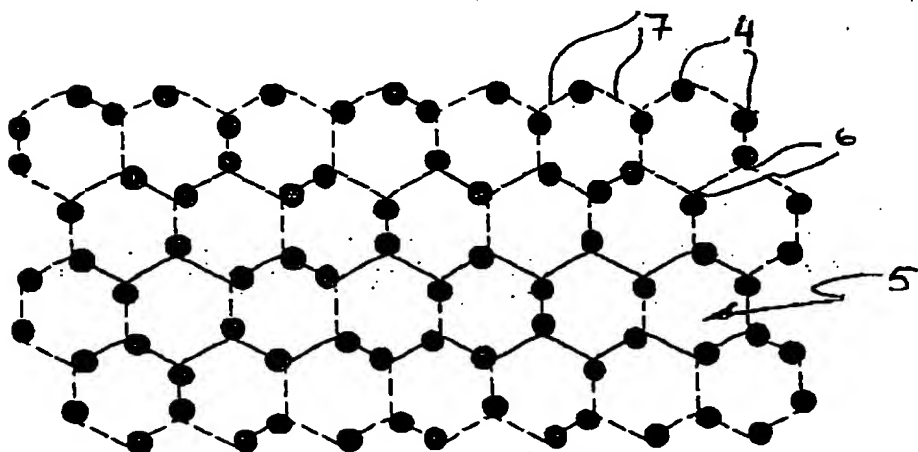


Fig. 12